



المجلة الجغرافية العربية

تصدر عن الجمعية الجغرافية المصرية

الحساسية البيئية للتصرّح شمال غرب محافظة بنى سويف باستخدام نموذج MEDALUS

د. هاني ربيع نادي محمد

مدرس جغرافية البيئة،
كلية الآداب - جامعة بنى سويف

كافة حقوق النشر محفوظة للجمعية الجغرافية المصرية
وجميع الآراء الواردة في بحوث هذه السلسلة تعبر عن آراء
 أصحابها ولا تعبر بالضرورة عن وجهات نظر الجمعية الجغرافية
المصرية

الترقيم الدولي الموحد للطباعة : ١١١٠-١٩١١

الترقيم الدولي الموحد الإلكتروني: ٤٧٩٥-٢٦٨٢

الموقع على شبكة الانترنت: www.egyptiangs.com

Copyright ® 2022, Printed by Al-Resala Press, Tel.: 0122 65 78 757 e-mail: gamal_elnady@yahoo.com

All rights reserved. This book is protected by copyright. No part of it may be reproduced, stored in a retrieval system, or transmitted in any form or by any means, electronic, mechanical, photocopying, recording, or otherwise, without written permission from The Egyptian Geographical Society.

﴿ب﴾

فهرس المحتويات

صفحة	الموضوع
١	المُلخص.
١	المُقدمة.
٣	منطقة الدراسة.
٣	إشكالية الدراسة.
٥	أهداف الدراسة.
٥	مناهج الدراسة.
٥	مصادر الدراسة.
٧	أولاً - العوامل الجغرافية المؤثرة في التصحر :
٧	(١) التكوينات الجيولوجية السطحية.
١١	(٢) تضاريس المنطقة.
١٣	(٣) أنماط الانحدارات.
١٤	(٤) اتجاهات الانحدارات.
١٦	(٥) الأقسام التضاريسية بالمنطقة.
١٨	(٦) الخصائص المناخية.
٢٥	(٧) خصائص التربة.
٢٨	ثانياً - نموذج MEDALUS لحساسية التربة للتصحر :
٣٠	(١) مؤشر جودة التربة.
٣٧	(٢) مؤشر جودة الغطاء النباتي.
٤٥	(٣) مؤشر جودة المناخ.
٥١	(٤) مؤشر الحساسية البيئية للتصحر.
٥٥	النتائج والتوصيات.
٥٨	ملحق الصور الفوتوغرافية.
٦٠	المراجع.
٦٣	الملخص الأجنبي.

فهرس الجداول

صفحة	عنوان الجدول	م
٨	التكوينات الجيولوجية السطحية في منطقة الدراسة.	١
١١	فئات الارتفاع الرئيسية بمنطقة الدراسة.	٢
١٤	أنماط الانحدارات بمنطقة الدراسة.	٣
١٥	اتجاهات الانحدارات بمنطقة الدراسة.	٤
١٧	الأقسام التضاريسية الرئيسية بمنطقة الدراسة.	٥
١٩	درجة الحرارة بمحطات منطقة الدراسة.	٦
٢١	معدلات التبخر بمحطات منطقة الدراسة.	٧
٢١	معدلات المطر بمحطات منطقة الدراسة.	٨
٢٣	القيمة الفعلية للمطر (مؤشر الجفاف) عند ديمارتون.	٩
٢٤	مؤشر الجفاف بمحطات منطقة الدراسة.	١٠
٢٥	أنماط التربة بمنطقة الدراسة.	١١
٣١	فئات مؤشر مادة الأصل وأوزانها بمنطقة الدراسة.	١٢
٣٢	فئات مؤشر نسيج التربة وأوزانها بمنطقة الدراسة.	١٣
٣٤	فئات مؤشر عمق قطاع التربة وأوزانها بمنطقة الدراسة.	١٤
٣٥	فئات مؤشر درجة انحدار السطح وأوزانها بمنطقة الدراسة.	١٥
٣٦	المؤشر الاجمالي لنوعية التربة وأوزانها بمنطقة الدراسة.	١٦
٣٩	فئات مؤشر كثافة الغطاء النباتي وأوزانها بمنطقة الدراسة.	١٧
٤٠	فئات مؤشر خطر الحرائق وأوزانها بمنطقة الدراسة.	١٨
٤٢	فئات مؤشر حماية التربة من التعرية وأوزانها بمنطقة الدراسة.	١٩
٤٣	فئات مؤشر حماية التربة من الجفاف وأوزانها بمنطقة الدراسة.	٢٠
٤٤	المؤشر الاجمالي لجودة الغطاء النباتي وأوزانه بمنطقة الدراسة.	٢١
٤٧	فئات مؤشر التساقط (المطر) وأوزانها بمنطقة الدراسة.	٢٢
٤٩	فئات مؤشر الجفاف وأوزانها بمنطقة الدراسة.	٢٣
٥٠	فئات مؤشر اتجاه الانحدار وأوزانها بمنطقة الدراسة.	٢٤
٥٠	المؤشر الاجمالي لجودة المناخ وأوزانه بمنطقة الدراسة.	٢٥
٥٣	فئات مؤشر الحساسية البيئية للتصرّر وأوزانه بمنطقة الدراسة.	٢٦

فهرس الأشكال والخرائط

صفحة	عنوان الشكل أو الخريطة	م
٤	موقع منطقة الدراسة.	١
٩	جيولوجية منطقة الدراسة.	٢
١٢	الخصائص التضاريسية لمنطقة الدراسة.	٣
٢٠	توزيع متوسط درجة الحرارة بمنطقة الدراسة.	٤
٢٢	توزيع معدلات التبخر بمنطقة الدراسة.	٥
٢٢	كمية المطر بمنطقة الدراسة.	٦
٢٦	أنماط التربة بمنطقة الدراسة.	٧
٣٣	مؤشرات جودة التربة بمنطقة الدراسة.	٨
٣٧	مؤشر جودة التربة الكلي بمنطقة الدراسة.	٩
٤١	مؤشرات جودة الغطاء النباتي بمنطقة الدراسة.	١٠
٤٥	مؤشر جودة الغطاء النباتي الكلي بمنطقة الدراسة.	١١
٤٨	مؤشرات جودة المناخ بمنطقة الدراسة.	١٢
٥١	مؤشر جودة المناخ الكلي بمنطقة الدراسة.	١٣
٥٢	نموذج تقييم الحساسية البيئية للتصحر باستخدام برنامج Arc GIS 10.8.	١٤
٥٤	الحساسية البيئية للتصحر بمنطقة الدراسة.	١٥

فهرس الصور الفوتوغرافية

صفحة	عنوان الصورة	م
٥٨	تربة هوامش السهل الفيضي.	١
٥٨	التربة الرملية الكوارتزية شمال منطقة الدراسة على جانب طريق القاهرة أسيوط.	٢
٥٨	تربة الترسيبات الحديثة.	٣
٥٨	انتشار الأحجار والمفتتات الصخرية في التربة المنقوله غرب قرية الهرم.	٤
٥٨	تربة ذات نسيج رملي شمال غرب المنطقة.	٥
٥٨	معدلات تصرح مرتفعة بطريق ميدوم.	٦
٥٩	زراعة القمح في تربة جيدة الاستصلاح بطريق ميدوم.	٧
٥٩	غطاء نباتي متوسط إلى قليل الكثافة عند بداية طريق الواسطي.	٨
٥٩	زراعة نبات التين الشوكى المقاوم للجفاف بطريق ميدوم.	٩
٥٩	زراعة الشعير بمنطقة هوامش منخفض الفيوم جنوب شرق منطقة الدراسة.	١٠
٥٩	عمليات الاستصلاح الزراعي بالجهود الذاتية غرب قرية ميدوم.	١١
٥٩	تربة منقوله ببقايا النباتات لرفع درجة جدارتها الإنتاجية.	١٢

«ح»

المُلْخَص

قام الاتحاد الأوروبي بدعم مشروع لتقدير حجم التصحر بمنطقة دول البحر المتوسط الأوروبية تحت عنوان European Union- Mediterranean Environment Project (EU-MEDALUS) Desertification and Land Use Project، حيث يعمل هذا النموذج على تصنيف الأراضي وفق درجة حساسيتها البيئية للتتصحر وذلك من خلال قياس مجموعة من العناصر التي تساهم في ذلك. وبتطبيق هذا النموذج على منطقة شمال غرب محافظة بنى سويف والتي تمثل ظهيراً صحراءً للمحافظة يفصلها عن محافظة الفيوم، فقد أتضح أن حوالي ١٢,١٪ من مساحة المنطقة ذات مؤشر جودة تربة منخفض و ٤٨,٨٪ من مساحتها ذات مؤشر جودة تربة جيد، كذلك فإن حوالي ٨٣,٦٪ من مساحة المنطقة ذات مشر غطاء نباتي منخفض الجودة جداً في حين أن ٨,٧٪ من مساحتها ذات مؤشر جودة غطاء نباتي جيد، كما أتضح من الدراسة أيضاً أن ٥٧,٥٪ من مساحة المنطقة ذات مؤشر جودة مناخ منخفضة في حين أن ٣٩,٧٪ من مساحتها ذات مؤشر جودة مناخ جيدة. وقد انتهت الدراسة إلى أن ٢٣,٥٪ من مساحة المنطقة ذات مؤشر حساسية بيئية للتتصحر عالي جداً وأن ٥٩,٤٪ من مساحتها مناطق غير حساسة بيئياً للتتصحر.

الكلمات المفتاحية: الحساسية البيئية، التتصحر، جودة التربة، جودة الغطاء النباتي، جودة المناخ.

المُقدمة:

تعد التربة أحد الموارد البيئية الطبيعية المهمة التي يتم الاعتماد عليها في عملية الانتاج الزراعي، حيث تستدعي الضرورة استخدام الوسائل العلمية المتقدمة في استغلالها لتحقيق انتاج زراعي مستدام. وتعرف مبادرة الأمم المتحدة لمواجهة التتصحر الصادرة في سبتمبر عام ١٩٩٤م عملية التتصحر على أنها تدهور الأرضي بالمناطق الجافة وشبه الجافة وشبه الرطبة والناتجة عن عوامل مختلفة تشمل التغير المناخي والنشاط البشري، حيث تم تطوير نماذج رياضية تتناول المفهوم الكمي لتحليل التتصحر (Gad, 2008, p. 1)، وبالتالي فإن مثل هذا التركيز على النظم البيئية يسلط الضوء على انخفاض انتاجية النبات

والكتلة الحيوية المتغيرة وانخفاض التنوع في أشكال الحياة (Farajzadeh and Egbal, 2007, p. 2622).

ويعد الجفاف من أكثر المشكلات البيئية تعقيداً، والأقل فهما عن سائر المشكلات الطبيعية، حيث أنه يؤثر في السكان وأنشطتهم، وي فوق بكثير أي مشكلة أخرى (عبد القادر، ١٩٩٧، ص ٢٠١). فكثيراً ما تتعرض له مناطق العالم المختلفة - خلال فترات غير محددة - خاصة في المناطق الجافة وشبه الجافة، حيث شهدت العصور التاريخية حالات من الجفاف الميتروولوجي والتي نتجت من انعدام المطر لفترات معينة مما أدى إلى تعرض المناطق التي حل بها لكوارث بيئية خطيرة تمثلت في نقص شديد في المحاصيل الزراعية وتدمير الحياة الحيوانية والنباتية وهجرة جماعية للسكان. كما يمكن أن ينبع الجفاف من حدوث نقصان في المطر وزيادة في التبخر/نتح Evapotranspiration مسبباً تدهور في خصائص التربة وتعرضها لعمليات التعرية الريحية (محسوب، ١٩٩٨، ص ١٠٨). وعلى الناحية الأخرى فإن التصحر يعد أحد أخطر المشكلات البيئية التي تعاني منها المناطق الجافة وشبه الجافة وشبه الرطبة، حيث يؤدي إلى اختلال التوازن البيئي وتدهور خصائص التربة الحيوية وإنخفاض قدرتها الإنتاجية مما يهدد عمليات التنمية، (العامر، ٢٠١٩، ص ٢). وتعرض الأقاليم الجافة وشبه الجافة وشبه الرطبة إلى تدهور بيئي خطير يؤدي إلى زيادة تكرار فترات الجفاف وتنشط عوامل التصحر نتيجة لتزامن مؤشرات النمو السكاني مع ظروف مناخية غير ملائمة خاصة وأن الأراضي القابلة للتصحر أكثر من غيرها في هذه الأقاليم. وتتمثل الحساسية البيئية للتصحر مدي قدرة التربة على تحمل التغيرات التي تحدث بها نتيجة العديد من الظروف الطبيعية والبشرية والتي يتربّ عليها تغيير الخصائص الطبيعية لها وما يرتبط به من تغير في قدرتها على الانبات والزراعة.

ويعتبر نموذج MEDALUS بمثابة مشروع دولي لاستقصاء آثار التصحر على الأراضي في دول حوض البحر الأبيض المتوسط (الشرباصي، ٢٠١٩، ص ٣٢٦)، حيث قام الاتحاد الأوروبي بدعم مشروع لتقدير حجم التصحر بمنطقة دول البحر المتوسط الأوربية تحت عنوان European Union- Mediterranean Environmennts Desertification and Land Use project (EU-MEDALUS) على تصنيف الأراضي وفق درجة حساسيتها البيئية للتصحر وذلك من خلال قياس مجموعة من العناصر التي تساهم بدور واضح في ذلك (بغدادي، ٢٠١٢، ص ١٦٢).

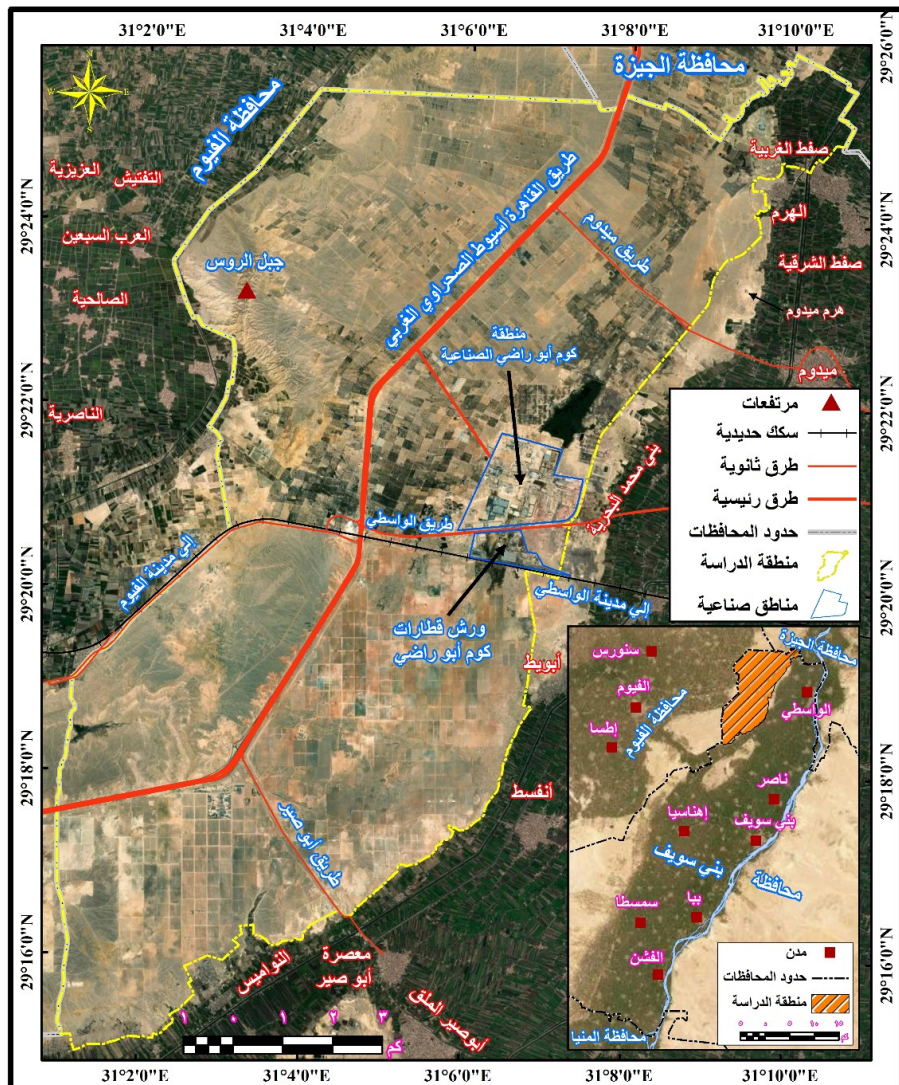
ويعد نموذج MEDALUS نموذجاً مركباً حيث يعتمد على العديد من المتغيرات التي تربط بينهما علاقة مكانية مركبة، ويجمع هذا النموذج بين خصائص تربة منطقة الدراسة والخصائص المناخية وخصائص الغطاء النباتي وخصائص السطح (عوض، ٢٠١٨، ص ٢٢٩).

منطقة الدراسة:

تقع منطقة الدراسة في الظهير الصحراوي الشمالي الغربي لمحافظة بنى سويف، حيث تمتد بين دائري عرض ٢٩°٤٠' - ٣١°٠' شمالي وبين خط طول ٢٥°٥٣,٢' - ٤٦,٢° شرقاً (شكل ١). وتشكل منطقة الدراسة حاجزاً صحراوياً بين السهل الفيضي لنهر النيل في محافظة بنى سويف وبين المنطقة السهلية في قاع منخفض الفيوم وحوافه في محافظة الفيوم، ويمر خلال المنطقة طريق القاهرة أسيوط الصحراوي الغربي الذي يكاد ينصفها إلى نصفين متساوين في المساحة حيث تنتشر على جوانبه مناطق الاستصلاح الزراعي خاصة شمال طريق الواسطي مع العلم أن عمليات الاستصلاح جارية بشكل كبير جنوب هذا الطريق. وتمتد من الطريق الصحراوي بعض الوصلات التي تربط الطريق بالسهل الفيضي شرقاً أو منخفض الفيوم غرباً مثل وصلة ميدوم والواسطي وأبو صير ناحية بنى سويف ووصلة الفيوم ناحية منخفض الفيوم غرباً، فضلاً عن خط السكة الحديدية الذي يربط بين مدینتي الواسطي والفيوم. وتبلغ مساحتها الإجمالية ١٥٢,٥ كم^٢، حيث تمتد المنطقة بمحور جنوب غربي شمالي شرقي بطول بلغ ٢٤,٦ كم وبمتوسط عرض بلغ ٦,٦ كم، حيث تتسع في الشمال وتتضيق في الوسط والجنوب بسبب اقتراب منخفض الفيوم من السهل الفيضي شرقاً.

إشكالية الدراسة:

تتمثل إشكالية الدراسة في ارتفاع درجة الحساسية البيئية للتصرّف في بعض أجزاء منطقة الدراسة نتيجة بعض الظروف الطبيعية المرتبطة بخصائص التربة والغطاء النباتي والمناخ، الأمر الذي يهدد بتصرّف مساحة كبيرة من الأراضي المنزرعة بالفعل بخطر التصرّف وقد انها القدرة على الإنبات والزراعة والانتاج.



شكل (١) : موقع منطقة الدراسة.

المصدر: من عمل الباحث اعتماداً على الخرائط الطبوغرافية مقياس ١ : ٥٠,٠٠٠، عام ٢٠٠٥ والجهاز المركزي للتعبئة العامة والإحصاء عام ٢٠١٧ ومرئيات القرى الصناعي (Landsat-8 (OLI) 2022، والدراسة الميدانية.

أهداف الدراسة:

تهدف هذه الدراسة إلى الآتي:

١. دراسة العوامل الجغرافية المؤثرة في عملية التصحر.
٢. تقييم جودة التربة بمنطقة الدراسة.
٣. تقييم جودة الغطاء النباتي وتحديد دوره في عملية التصحر.
٤. تقييم جودة المناخ بمنطقة الدراسة.
٥. حساب المؤشر الإجمالي للحساسية البيئية للتتصحر بمنطقة الدراسة.

مناهج الدراسة:

اعتمدت الدراسة على المنهج الموضوعي في تقييم الحساسية البيئية للتتصحر من خلال تقسيم الدراسة إلى عدة أقسام فرعية تدرج بدورها تحت الفكرة الرئيسية للبحث. كما اعتمدت الدراسة على المنهج التحليلي لنتائج تطبيق مؤشر الحساسية البيئية للتتصحر والمؤشرات الفرعية التي تدرج تحته والذي ترتب عليه تحديد درجات تعرض التربة بمنطقة الدراسة للتتصحر، فضلاً عن استخدام المنهج الأصولي في دراسة العوامل المؤثرة في التتصحر، هذا إلى جانب منهجية التحليل المكانى والتي تتفق مع المنهج التحليلي والذي يعتمد على الأساليب الكمية الحديثة في تفسير نشأة وتطور الظاهرات وربطها ببعضها البعض. كما اعتمدت الدراسة على بعض الأساليب مثل الأسلوب الكمي والذي تم الاعتماد عليه في تحليل البيانات الاحصائية، والاسلوب الكارتوغرافي والذي تم استخدامه في صياغة بيانات الدراسة بشكل كارتوغرافي على هيئة خرائط وأشكال بيانية.

مصادر الدراسة:

اعتمدت الدراسة الحالية على المصادر الآتية:

أ- الدراسات السابقة:

تتمثل الدراسات التي تناولت موضوع أو منطقة الدراسة فيما يلي :

- دراسة (Kosmas, et al., 1999): بعنوان المؤشرات الرئيسية للتتصحر ورسم خرائط للمناطق الحساسة بيئياً للتتصحر، المفوضية الأوروبية، الطاقة والبيئة والتنمية المستدامة، حيث تناول دراسة المؤشرات الرئيسية والفرعية للحساسية البيئية للتتصحر.

- دراسة (Ali and El-Baroudy, 2006): بعنوان استخدام نظم المعلومات الجغرافية في رسم خرائط الحساسية البيئية للتصرّف في منخفض وادي النطرون، مصر، حيث تم تطبيق المؤشر على وادي النطرون وأثبتت الدراسة أن ١٢,٥٦٪ من مساحة المنطقة ذات حساسية بيئية عالية للتصرّف.
- دراسة (Gad and Lotfy, 2006): بعنوان استخدام الاستشعار من بعد ونظم المعلومات الجغرافية في عمل خرائط الحساسية البيئية للتصرّف الأراضي المصرية، حيث أثبتت الدراسة أن ٨٦,١٪ من مساحة الأراضي المصرية ذات حساسية عالية للتصرّف.
- دراسة (Gad, 2008): بعنوان تتبع وتخريط الحساسية البيئية للتصرّف في واحات الصحراء الغربية بمصر باستخدام الاستشعار عن بعد ونظم المعلومات الجغرافية، حيث تناول البحث دراسة مؤشرات جودة التربة وجودة الغطاء النباتي وجودة المناخ في واحات البحريّة والداخلة والخارجية.
- دراسة (Hegazi, et al., 2009): بعنوان تقييم ورسم خرائط حساسية التصرّف في المنطقة الساحلية الشمالية الغربية، مصر، حيث تم تطبيق النموذج على الجزء الشمالي الغربي من مصر وأثبتت الدراسة أن دليل حساسية المنطقة للتصرّف البيئي كان يقع تحت الحالة الحرجة من التدهور في مرحلتيه الأولى والثانية.
- دراسة (نرمين نتعى زهير حنا الله، ٢٠١٠): بعنوان المشكلات البيئية في محافظة بنى سويف دراسة في الجغرافيا التطبيقية، حيث تناولت بالدراسة مشكلات الهواء والسيول والتربة بالمحافظة ككل.
- دراسة (سيدة سيد رسلان سلامة، ٢٠١٤): بعنوان الإمكانيات الجغرافية لخطيط المنطقة الصحراوية بين محافظتي الفيوم وبني سويف، دراسة في جغرافية الخطيط، حيث تناولت العوامل الطبيعية والديمografية للمنطقة والتجمعات العمرانية والإمكانات الاقتصادية للخطيط وخرائط استخدام الأرض الحالي والمفترض بالمنطقة.
- دراسة (شريات بشندي عطيه عوض، ٢٠١٨): بعنوان مشكلات التربة في منخفض الخارج، دراسة جغرافية باستخدام الاستشعار عن بعد ونظم المعلومات الجغرافية، حيث طبقت نموذج MEDALUS على تربة المنخفض وأثبتت أن ٥٢,٦٪ من مساحة المنخفض ذات حساسية بيئية عالية للتصرّف.

- دراسة (محمود إبراهيم دسوقي بعدهي، ٢٠١٨) : بعنوان التحليل المكانى للحساسية البيئية لإقليم بحيرة قارون شمال منخفض الفيوم بمصر، باستخدام نظم المعلومات الجغرافية والاستشعار، حيث تناول دراسة الحساسية البيئية ليباس بحيرة قارون بتطبيق نموذج MEDALUS، حيث أثبتت الدراسة أن ٢٧,٦٪ من مساحة المنطقة ذات حساسية بيئية عالية للتصرّر.

ب- الخرائط والصور الفضائية:

اعتمدت الدراسة على الخرائط الطبوغرافية مقاييس ١ : ٥٠,٠٠٠ ومقاييس ١ : ١٠٠,٠٠٠ من إنتاج الهيئة المصرية العامة للمساحة ممثلة في لوحة الواسطي، كما اعتمدت أيضاً على الخرائط الجيولوجية من إنتاج شركة كونكو كورال مقاييس رسم ١ : ٥٠٠,٠٠٠ لوحة بنى سويف SW-NH36SW. هذا إلى جانب خرائط التربة التي انتجتها أكاديمية البحث العلمي للتربة في مصر مقاييس ١ : ١٠٠,٠٠٠ لعام ١٩٨٧ مصر العيا (لوحة ١).

ج- الدراسة الميدانية:

ساهم قرب منطقة الدراسة من محل إقامة الباحث من القيام بأكثر من زيارة للمنطقة وذلك في فبراير ٢٠٢١م ويونيو ٢٠٢١م ويناير ٢٠٢٢م وذلك للتحقق الحقلي من الظاهرات الرئيسية بالمنطقة ورصد الأنماط المختلفة للتربة والتحقق من مطابقتها للخرائط المستخدمة في الدراسة، إلى جانب تحديد مناطق كثافة الغطاء النباتي والمناطق المعرضة لخطر التعرية بشقيها المائي والهوائي والمناطق المعرضة لخطر الحرائق حيث مناطق توزيع النباتات الجافة وحجم الغطاء النباتي ومواسم الزراعة تحديداً مناطق الاستصلاح الزراعي ونوع المحاصيل الزراعية المستخدمة في النموذج، هذا إلى جانب التقاط الصور الفوتوغرافية لظاهرات سطح الأرض في المنطقة.

أولاً - العوامل الجغرافية المؤثرة في التصرّر :

(١) التكوينات الجيولوجية السطحية:

يوضح الجدول رقم (١) والشكل رقم (٢) التكوينات الجيولوجية السطحية بمنطقة الدراسة والتي تتألف مما يلي:

- تكوين وادي الريان: أقدم التكوينات الجيولوجية في المنطقة، والذي يرجع إلى الإيوسين الأوسط، حيث يتالف هذا التكوين من الحجر الجيري الضحل الغني بحفريات النيموليت مع تتابعات من الطفل الأخضر والطفل الرملي (Sobhy, 1996, p. 32)، حيث يغطي التكوين من أعلى بطبقة من الحجر الجيري الحفرى بسمك ١٠ متر (Mohamed, 1997, p. 12). ويغطي هذا التكوين حوالي ٥١,٥ كم^٢ بنسبة ٣٣,٨% من جملة مساحة المنطقة ويمتد في وسط المنطقة بشكل طولي من الشمال إلى الجنوب على امتداد حافة منخفض الفيوم الشرقية. وقد أثرت هذه التكوينات في حساسية التربة للتصرّر من خلال تأثيرها في مؤشر عمق قطاع التربة الضحل جداً على الحساسية وكذلك مؤشر تسخّج التربة الخفيف إلى متوسط منخفض الحساسية.

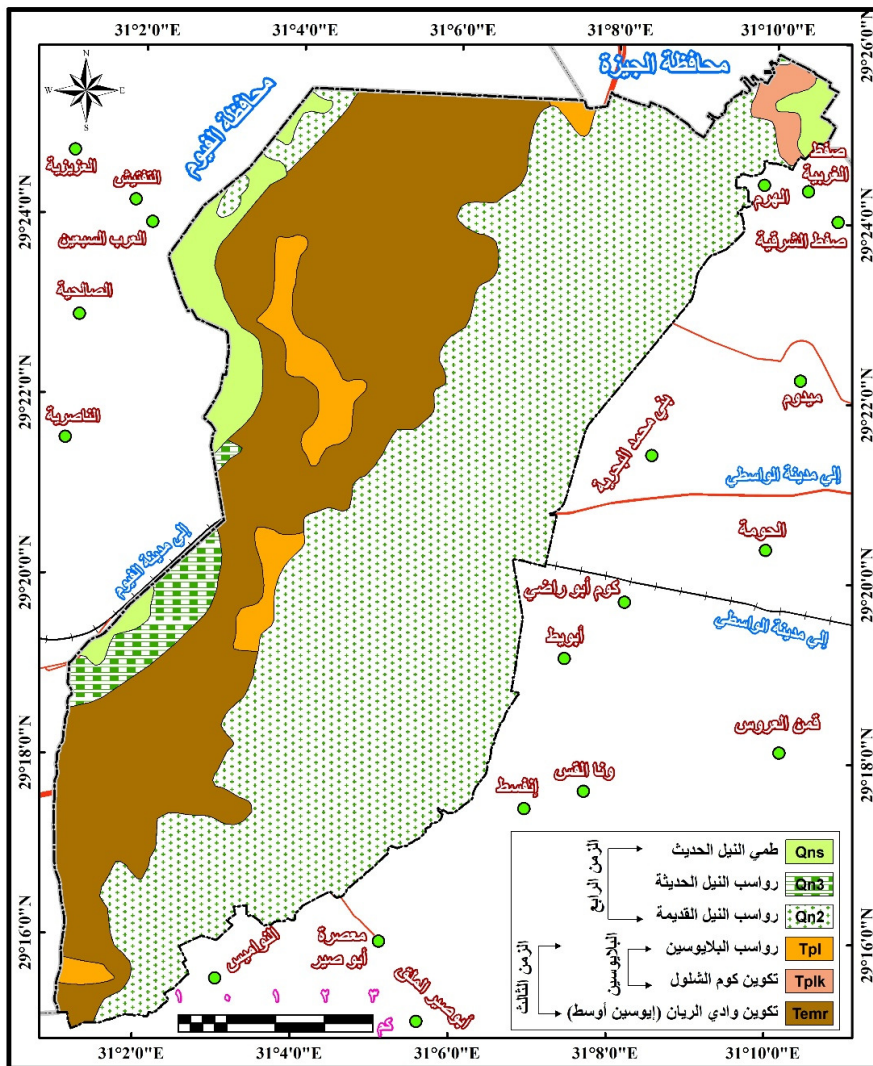
جدول (١) : التكوينات الجيولوجية السطحية في منطقة الدراسة.

الزمن (%)	مساحة الزمن (كم ^٢)	(%)	المساحة (كم ^٢)	التكوين الجيولوجي	العصر	الزمن	
٦١,٨	٩٤,٢	٤,٣	٦,٥	طمي النيل الحديث	هولوسين		
		٢,٧	٤,١	رواسب النيل الحديثة	بلايستوسين		
		٥٤,٨	٨٣,٦	رواسب النيل القديمة			
٣٨,٢	٥٨,٣	٣,٦	٥,٥	رواسب البلايوسين	بلايوسين		
		٠,٨	١,٣	تكوين كوم الشلول			
		٣٣,٨	٥١,٥	تكوين وادي الريان	إيوسين أوسط		
١٠٠	١٥٢,٥	١٠٠	١٥٢,٥	الإجمالي			

المصدر: من إعداد الباحث اعتماداً على شكل رقم (٢).

- تكوين كوم الشلول: يعلو تكوين كوم الشلول تكوين المعادي الذي ينتمي إلى الإيوسين العلوي في عدم توافق (Faiad, 2000, p. 63)، حيث يتالف هذا التكوين من الحجر الرملي والمارل والحجر الجيري والحسى والذي يتراوح لونه بين البني والبني المصفر، وتبلغ مساحته حوالي ١,٣ كم^٢ بما نسبته نحو ٠,٨% من إجمالي

مساحة المنطقة وهو أقل التكوينات الجيولوجية السطحية انتشاراً، حيث يظهر شمال شرق المنطقة وتحديداً على هامش السهل الفيسي غرب قرية الهرم، حيث يستخدم في عمليات التحجير للحصول على مواد البناء. وقد ارتبط هذا التكوين بالحساسية البيئية المنخفضة وفق مؤشر مادة الأصل والذي يضم التكوينات الجيولوجية المتماسكة والتي تتألف من الحجر الرملي والجيри الصلب.



شكل (٢) : جيولوجية منطقة الدراسة.

المصدر: كونكورال لوحة بنى سويف مقاييس ١ : ٥٠٠٠٠، ١٩٨٧م.

- **رواسب البلايوسين:** تتألف من طين غير مصنف ورمل وكونجلوميرات وكوارتز، وهي رواسب بحرية غنية بالحفيّات (Shaehata, 1986, p. 56)، وتشكل هذه الرواسب $5,5 \text{ كم}^2$ بنسبة $3,6\%$ من مساحة المنطقة وتظهر في الجزء الأوسط من المنطقة على منحدرات جبل الروس والي الجنوب منه. وقد أثرت هذه التكوينات في حساسية التربة للتصحر من خلال تأثيرها في مؤشر عمق قطاع التربة الضحل جداً على الحساسية.
- **رواسب النيل القديمة:** تشكل هذه الرواسب أكثر التكوينات السطحية انتشاراً بمنطقة الدراسة حيث تغطي حوالي $83,6 \text{ كم}^2$ بنسبة $54,8\%$ من مساحة المنطقة حيث تغطي الجزء الشرقي منها وتمتد بمحاذاة السهل الفيسي شرقاً وعلى هوامش منخفض الفيوم في الشمال الغربي، وتتكون من الرمال المختلطة بالحصى والحصاء التي اشتقت من صخور الحجر الرملي النبوي (Tamer, 1986, p. 16)، ويترافق سمك هذه الرواسب بين أقل من نصف متراً إلى أكثر من خمسة أمتار في وادي الريان (Attiah, 1949, p. 20)، بينما يصل سمكها إلى ٧٠ متر في وادي النيل (سعيد، ٢٠٠١، ص ص ٥٩-٦١)، حيث تشكل هذه الرواسب الطبقة الأساسية الحاملة للمياه في أرجاء المعمور في مصر، وفيها يقع خزان المياه الجوفية الأساسية تحت الدلتا وفي وادي النيل. وقد أثرت هذه الطبقة بشكل واضح في حساسية التربة للتصحر من خلال تأثيرها في مؤشر المادة الأصل للترابة والتي تقع فيها هذه الرواسب في فئة الحساسية العالية للتصحر وكذلك مؤشر نسيج التربة حيث جاءت في فئة النسيج الخشن مرتفع الحساسية بينما جاءت في فئة عمق قطاع التربة المتوسط قليل الحساسية للتصحر.
- **رواسب النيل الحديثة:** تغطي هذه الرواسب حوالي $4,1 \text{ كم}^2$ بنسبة $2,7\%$ من مساحة المنطقة وهي عبارة عن رواسب من الرمل الناعم والطفل مع الحصى أو الصلصال مع الحصى (Abd El-Baky, 1972, p. 16)، حيث تظهر هذه الرواسب جنوب غرب منطقة الدراسة على الهوامش الشرقية لمنخفض الفيوم. وترتبط هذه الرواسب بالحساسية البيئية العالية للتصحر من حيث مادة الأصل الهشة ونسيج التربة الخشن الذي يجعل التربة عرضة للتصحر بمعدلات سريعة.
- **طمي النيل الحديث:** يتتألف من الرمل الناعم والطفل والحصى، حيث تتركز فوق الرواسب النيلية القديمة أعلى تكوينات الإيوسين الأوسط في غير توافق، وتغطي هذه

الرواسب $6,5 \text{ كم}^2$ بنسبة $4,3\%$ من مساحة المنطقة حيث تتمتد في هوماиш السهل الفيضي شمال شرق المنطقة كما تظهر على الهومايش الشرقيه لمنخفض الفيوم غرب جبل الرواس في الغرب. وقد ارتبطت هذه الرواسب بقطاع التربة العميق الذي يقلل من حساسية التربة للتصرّح وكذلك ترتبط بمؤشر نسيج التربة الخفيف إلى المتوسط ذو الحساسية المنخفضة للتصرّح.

يتضح من دراسة التكوينات الجيولوجية بالمنطقة أن $65,4\%$ من مساحتها تتألف من الرواسب الحصوية والرمليه والطين وهي مكونات ذات حساسية عاليه للتصرّح من حيث مؤشرات مادة الأصل ونسيج التربة، في حين أن $34,6\%$ من مساحتها تتألف من الصخور الجيرية والرمليه ذات الحساسية العالية من حيث مؤشر عمق قطاع التربة.

(٢) تضاريس المنطقة:

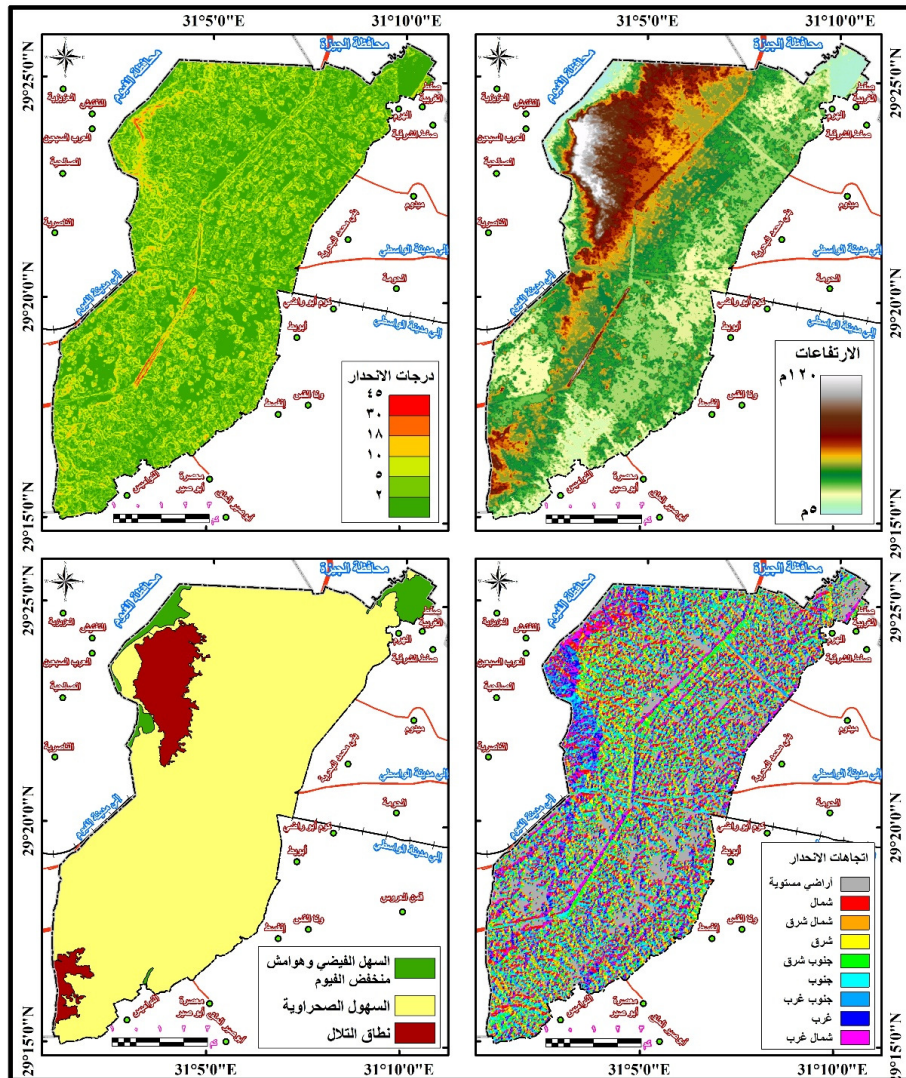
يوضح الجدول (٢) والشكل (٣) فئات الارتفاع الرئيسية بمنطقة الدراسة والذي يتضح منها ما يلي:

- يتراوح منسوب سطح منطقة الدراسة بين 5 م كأدني منسوب وذلك في غرب المنطقة على الهومايش الشرقيه لمنخفض الفيوم إلى الشرق من عزبة عب السبعين التابعة لمركز طامية وبين 119 م كأعلى منسوب في قمة جبل الروس غرب المنطقة، وقد بلغ المدى التضاريسى في المنطقة 114 م .

جدول (٢) : فئات الارتفاع الرئيسية بمنطقة الدراسة.

(%)	المساحة (كم^2)	المنسوب
٣,٠	٤,٦	أقل من 25 م
٧٢,٩	١١١,١	من $25 - 50 \text{ م}$
٣,٥	٥,٤	من $50 - 75 \text{ م}$
٢٠,٣	٣٠,٩	١٠٠ - 75 م
٠,٣	٠,٥	100 م فأكثر
١٠٠	١٥٢,٥	الإجمالي

المصدر: من إعداد الباحث اعتماداً على شكل رقم (٣).



شكل (٣) : الخصائص التضاريسية لمنطقة الدراسة.

المصدر: الخرائط الطبوغرافية مقياس ١:٥٠,٠٠٠ والملفات الرقمية التي تنتجهها هيئة المساحة الجيولوجية الأمريكية USGS ودراسة الميدانية.

- تغطي المناطق التي يقل منسوبها عن ٢٥% من مساحة المنطقة وتنشر في قطاعين الأول في الشمال الشرقي حيث الأطراف الغربية للسهل الفيضي بقرى بيصف الغربية والهرم وهي أراضي زراعية خصبة شكلتها رواسب نهر النيل، أما

القطاع الثاني فيظهر في الشمال الغربي للمنطقة على هامش منخفض الفيوم الشرقية والتي تمثل امتداداً شرقياً للأراضي الزراعية بالمنخفض التي شكلتها رواسب بحيرة الفيوم العذبة والتي انكمشت تدريجياً مكونة خلفها شواطئ بحيرية مغطاه برواسب النيل الخصبة.

- تغطي المناطق التي يتراوح منسوبها بين ٢٥-٧٢,٩% من مساحة المنطقة أي ما يقرب من ثلاثة أرباع مساحتها وتمثل في أراضي الظهير الصحراوي للسهل الفيضي ومنخفض الفيوم وهي عبارة عن سهول صحراوية منبسطة قليلة الإنحدار يغطي سطحها بـ رواسب الرملية مختلفة الأحجام.
- تمثل المناطق التي يزيد منسوبها على ٦٤,١% من مساحة المنطقة أي ما يقرب من ربع مساحتها وتشير وسط المنطقة في قطاعين الأول في الشمال والشمال الغربي ممثلة في جبل الروس ومنحدراته وهو الجزء الأعلى من حيث منسوب السطح بالمنطقة، أما القطاع الثاني فيمتد في جنوب غرب المنطقة ممثلاً في منحدرات جبل اللاهون داخل حدود المنطقة والذي لا يتعدي منسوبه ٨٤م داخل حدود المنطقة.

بعد العرض السابق لخصائص نموج الارتفاع الرقمي بالمنطقة يلاحظ أن سطح المنطقة سطح منبسط قليل المنسوب في معظم قطاعاته عدا الجزء الجبلي في الشمال الغربي والمنحدرات الجبلية في الجنوب الغربي. وقد ساهمت قلة منسوب السطح في انخفاض درجات انحداره مما أثر في انخفاض حساسية التربة للتتصحر والتي تزداد مع الانحدارات الشديدة.

٣) أنماط الانحدارات:

- يوضح الجدول (٣) وشكل (٣) انحدارات سطح المنطقة والذي يتضح منه ما يلي:
- تغطي الأراضي المستوية وشبه المستوية نحو ٣٩,٧% من مساحة المنطقة أي ما يزيد قليلاً عن ثلث مساحتها، والتي تنتشر في أطراف السهل الفيضي شرقياً وهوامش منخفض الفيوم غرباً وعلى امتداد السهل الصحراوية في وسط منطقة الدراسة، وهي أراضي ذات حساسية منخفضة جداً للتتصحر.

- تغطي الأرضي هيئة الانحدار والتي تتراوح درجة انحدارها بين (٢ - ٥ درجة) نحو ٤٠,١% من جملة مساحة المنطقة، حيث تمتد بمحاذاة أراضي النمط السابق ويشكلان معاً أكثر من ثلاثة أرباع مساحة المنطقة وهي أراضي منخفضة الحساسية للتصحر حتى درجة انحدار ٣,٥° حيث تقع ضمن نطاق فئة الحساسية المنخفضة.
- تشكل الأرضي متوسطة وفوق متوسطة الانحدار (٥ - ١٨ درجة) ١٩,٩% من مساحة المنطقة وتظهر على جوانب مجاري الأودية الجافة الصغيرة التي تجري على سطح المنطقة أو على جوانب المنحدرات الجبلية، حيث تقع هذه الأرضي في فئة الحساسية المعتدلة نسبياً والشديدة للتصحر.
- تغطي المناطق شديدة الانحدار وشديدة الانحدار جداً (١٨ - ٤٥ درجة) نحو ٣٠,٣% من جملة مساحة المنطقة وهي نسبة قليلة جداً تظهر على جوانب جبل الروس في الشمال الغربي والتي تقع ضمن فئة الحساسية البيئية الشديدة والشديدة جداً للتصحر.

جدول (٣) : أنماط الانحدارات بمنطقة الدراسة.

(%)	المساحة (كم²)	أنماط الانحدارات
٣٩,٧	٦٠,٦	من صفر - أقل من ٢ درجة (الأراضي المستوية وشبه المستوية)
٤٠,١	٦١,١	من ٢ - أقل من ٥ درجات (الأراضي هيئة الانحدار)
١٧,٨	٢٧,١	من ٥ - أقل من ١٠ درجات (الأراضي متوسطة الانحدار)
٢,١	٣,٢	من ١٠ - أقل من ١٨ درجة (الأراضي فوق متوسطة الانحدار)
٠,٢	٠,٤	من ١٨ - أقل من ٣٠ درجة (الأراضي شديدة الانحدار)
٠,١	٠,١	من ٣٠ - أقل من ٤٥ درجة (الأراضي شديدة الانحدار جداً)
١٠٠	١٥٢,٥	الإجمالي

المصدر: من إعداد الباحث اعتماداً على شكل (٣).

٤) اتجاهات الانحدارات:

يوضح الجدول (٤) والشكل (٣) اتجاهات انحدارات سطح المنطقة والذي يتضح منه ما يلي:

جدول (٤) : اتجاهات الاندرات بمنطقة الدراسة.

اتجاهات الانحدار	المساحة (كم²)	(%)
أراضي مستوية	١٨,١	١١,٨
شمال	١٦,٣	١٠,٩
شمال شرق	١٧,٢	١١,٣
شرق	١٤,٩	٩,٨
جنوب شرق	١٨,٤	١٢
جنوب	٢٠	١٣,١
جنوب غرب	١٧,٩	١١,٧
غرب	١٣,٥	٨,٨
شمال غرب	١٦,٢	١٠,٦
الإجمالي	١٥٢,٥	١٠٠

المصدر: من إعداد الباحث اعتماداً على شكل (٣).

- تبلغ مساحة الأراضي التي تحدُر ناحية الشرق ٩٩,٨٪ من مساحة المنطقة وتظهر غرب منطقة الدراسة وهي أراضي ذات حساسية بيئية منخفضة للتصحر.
- تغطي الأراضي التي تحدُر ناحية الغرب ٦٨,٨٪ من مساحة المنطقة وتظهر بوضوح غرب وشمال غرب المنطقة وهي أراضي ذات حساسية بيئية مرتفعة للتصحر.
- تشكل الأرضي المستوية نحو ١١,٨٪ من جملة مساحة المنطقة حيث تظهر شمال شرق المنطقة حيث أراضي السهل الفيضي، كما تظهر في مناطق متعددة بوسط منطقة الدراسة حيث السهول الصحراوية المنبسطة وكذلك جنوب غربها. وتعد الأرضي المستوية أراضي ذات حساسية عالية للتصحر وفق مؤشرات جودة المناخ حيث تتسم بارتفاع درجة حرارتها ومن ثم ارتفاع معدلات التبخر وقدان محتوي التربة من المياه مما يؤدي إلى زيادة إحتمالية تصحرها.
- تغطي الأرضي التي تحدُر ناحية الشمال وتضم اتجاهات (الشمال والشمال الشرقي والشمال الغربي) نحو ٣٢,٨٪ من جملة مساحة المنطقة وتظهر بوضوح شمال غرب وجنوب شرق المنطقة، وهي أراضي ذات حساسية بيئية منخفضة للتصحر.

- تشكل الأرضي ذات الاتجاه الجنوبي والتي تضم اتجاهات الجنوب والجنوب الشرقي والجنوب الغربي حوالي ٣٦,٨٪ من مساحة المنطقة وتظهر في وسط المنطقة وشرقها وأقصى شمالها الغربي، وهي أراضي ذات حساسية بيئية مرتفعة للتتصحر.

٥) الأقسام التضاريسية بالمنطقة:

يوضح الجدول (٥) والشكل (٣) مظاهر سطح المنطقة والذي يتضح منه ما يلى :

- السهل الفيضي وهوامش منخفض الفيوم: تبلغ مساحة هذا القسم التضاريسى حوالي ٥,٨ كم^٢ بنسبة ٣,٨٪ من جملة مساحة المنطقة. ويمتد السهل الفيضي في الجزء الشرقي من منطقة الدراسة وتحديداً في الشمال الشرقي بالإضافة إلى شريط ضيق جداً في الجنوب الشرقي، حيث يتتألف من الرواسب الطميية التي جلبها النهر معه. ومن خلال الدراسة الميدانية دراسة الخرائط الطبوغرافية وصور الأقمار الصناعية يلاحظ إقتران إراضي السهل الفيضي بنمط التربة الطينية ذات القطاع العميق وهو نمط ذو حساسية بيئية منخفضة للتتصحر وفق مؤشر عمق قطاع التربة، كما أنها تربة ذات نسيج ناعم ومن ثم فهي ذات حساسية عالية للتتصحر وفق مؤشر نسيج التربة. كذلك يتسم هذا القسم التضاريسى بانخفاض معدلات انحدار السطح ويغلب عليه السطح المستوي مما يؤثر بوضوح في مدى الحساسية البيئية للتتصحر. على الجانب الغربي من المنطقة تظهر أراضي هوامش منخفض الفيوم وهي عبارة عن خليط بين الأرضي الخصبة في منخفض الفيوم وبين تربة الهوامش الصحراوية ات النسيج الرملي والحسوي الخشن وفي كل الأحوال يتسم هذا القطاع بدرجات الانحدار التي تزيد على ٥° درجات وانحدار أراضيه ناحية الشمال الغربي صوب منخفض الفيوم مما أثر في الحساسية البيئية للتتصحر وفق مؤشرات عمق التربة ونسيجها واتجاه الانحدار ودرجة الانحدار.

- السهول الصحراوية: تمتد في الإجزاء الوسطي من المنطقة، حيث تغطي حوالي ١٣٤,٠ كم^٢ بنسبة ٨٧,٩٪ من جملة مساحة المنطقة، وتتألف من صخور الحجر الرملي والحجر الجيري بالإضافة إلى الرواسب الرملية المفككة. ويغلب على سطح هذه السهول عدم التضرس وقلة الانحدار إلا في المناطق القريبة من منحدرات التلال الموجودة في غرب المنطقة، حيث تأخذ درجات الانحدار في الارتفاع

التدرجي. وقد تم استصلاح أجزاء من هذه السهول والمحصورة بين الطريق الصحراوي غرباً والسهل الفيسي في الشرق وذلك إلى الشمال من مدخل الواسطي، كذلك يتم العمل على استصلاح بعض الأراضي للزراعة جنوب النطاق السايبق، فضلاً عن عمليات الاستصلاح الزراعي في الجزء الغربي من المنطقة ناحية الهوامش الشرقية لمنخفض الفيوم. وقد أثر جميع ما سبق في هذا النطاق التضاريسى من حيث التكوين الجيولوجي ودرجة انحدار السطح واتجاهه ونمط التربة وعمليات الاستصلاح الزراعي على الحساسية البيئية للتصرّر على النحو الذي سيتم عرضه عند دراسة نموذج التصرّر بالمنطقة.

جدول (٥) : الأقسام التضاريسية الرئيسية بمنطقة الدراسة.

الوحدات التضاريسية	المساحة (كم²)	(%)
السهول الفيسي وهوامش منخفض الفيوم	٥,٨	٣,٨
السهول الصحراوية	١٣٤,٠	٨٧,٩
نطاق التلال	١٢,٧	٨,٣
الإجمالي	١٥٢,٥	١٠٠

المصدر: من إعداد الباحث اعتماداً على شكل (٣).

- **نطاق التلال:** يمتد هذا النطاق التضاريسى في الجزء الغربي والجنوبي الغربي من المنطقة ممثلاً في جبل الروس في الغرب ومنحدرات جبل اللاهون في الجنوب الغربي، ويغطي هذا القسم التضاريسى نحو ١٢,٧ كم² بنسبة ٨,٣% من جملة مساحة منطقة الدراسة. وبعد جبل الروس أعلى أجزاء منطقة الدراسة حيث يصل منسوبه إلى ١١٩ م ويمتد في محور شمالي جنوبي بطول بلغ ٦,٢ كم ومتوسط عرض بلغ ١,٨ كم، ويتألف سطحه من الصخور الجيرية التي يتتألف منها تكوين وادي الريان بالإضافة إلى رواسب البلايوسين غير المصنفة. وتتباع درجات انحدار السطح في نطاق جبل الروس الذي يشرف بمنحدرات شديدة على منخفض الفيوم غرباً بينما تأخذ منحدراته في الانحدار التدرجي بالاتجاه ناحية السهول الصحراوية في الشرق مما أثر في درجة الحساسية البيئية للتصرّر من حيث مؤشر الانحدار واتجاه الانحدار ومادة الأصل. أما منحدرات جبل اللاهون فتظهر في

الجزء الجنوبي الغربي من المنطقة والتي تمثل امتداداً شرقياً وشمالياً شرقياً له داخل منطقة الدراسة، والذي يصل منسوبه إلى ٨٤م، حيث يبلغ طوله نحو ٢,٧ كم ومتوسط عرضه حوالي ٦,٠ كم ويتألف سطحه من صخور الحجر الجيري حيث تكون وادي والريان بالإضافة إلى رواسب البلايوسین غير المصنفة، وينحدر سطحه بشكل تدريجي داخل منطقة الدراسة.

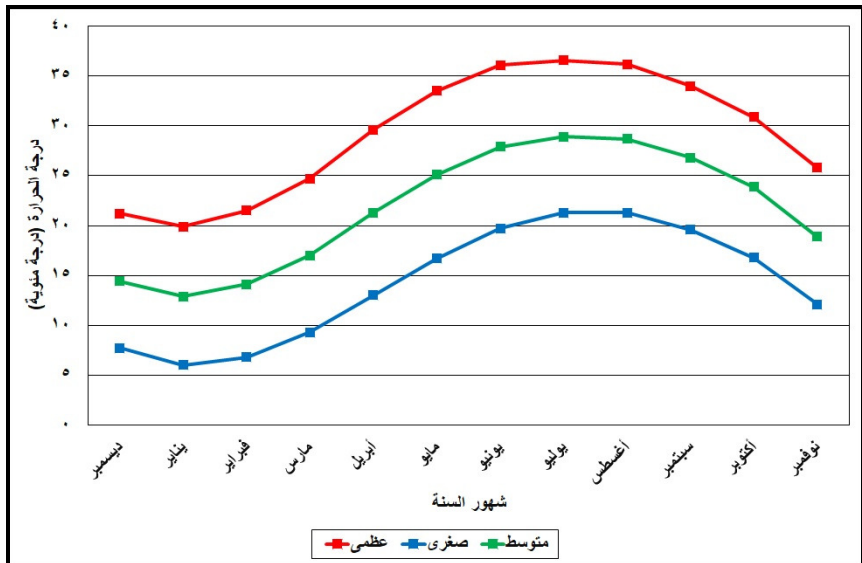
٦) الخصائص المناخية:

تم الاعتماد على بيانات محطة بنى سويف والفيوم والجيزه في دراسة الظروف المناخية بمنطقة الدراسة والتي تؤثر في الحساسية البيئية للتصرّح والتي تمثل في العناصر الآتية:

- الحرارة: يعد عنصر الحرارة أحد أهم العناصر المناخية المؤثرة في الحساسية البيئية للتصرّح حيث تعمل درجة الحرارة المرتفعة على رفع حرارة التربة وفقدان محتواها الرطوي ومن ثم جفافها وتصرّحها. ويساهم عنصر الحرارة في حساب معامل الجفاف والذي يعد أحد أهم المؤشرات المناخية التي تشير إلى أثر الظروف المناخية في عملية التصرّح وفق نموذج MEDALUS. ويوضح الجدول رقم (٦) درجة الحرارة بمحطات منطقة الدراسة حيث بلغ المتوسط السنوي لدرجة الحرارة العظمى ٢٩,١ درجة مئوية، حيث تراوحت بين ٢٨,٣ في الجيزه وبين ٢٩,٦ في الفيوم بينما بلغت ٢٩,٥ في بنى سويف. وترتفع درجة الحرارة صيفاً ليصل متوسطها إلى ٣٦,٦ في شهر يوليو حيث بلغت ٣٧,٢ في نفس الشهر في محطة الفيوم وبنى سويف بينما بلغت ٣٥,٤ في نفس الشهر في الجيزه. أما درجة الحرارة الصغرى فقد بلغ متوسطها السنوي ١٤,٢ درجة مئوية حيث تراوحت بين ١٣,٨ درجة مئوية في محطة الجيزه وبين ١٤,٥ درجة مئوية في بنى سويف وبين ١٤,٢ درجة مئوية في محطة الفيوم. وبعد شهر يناير أبرد شهور السنة حيث بلغ متوسط درجة الحرارة الصغرى فيه نحو ٦,٠ درجة مئوية تصل إلى ٥,٨ درجة في بنى سويف بينما تصل إلى ٦,٢ درجة مئوية في الجيزه و ٦,٠ درجة مئوية في الفيوم. وقد بلغ المتوسط الشهري لدرجة الحرارة ٢١,٦ درجة مئوية، يصل هذا المتوسط إلى ٢٢,٠ في بنى سويف و ٢١,٩ في الفيوم بينما بلغ ٢١,٠ في الجيزه (شكل ٤).

جدول (٦) : درجة الحرارة بمحطات منطقة الدراسة.

المحطة	البيان	فيبريل	مارس	أبريل	مايو	يونيو	يوليو	أغسطس	سبتمبر	أكتوبر	نوفمبر	ديسمبر	يناير	فبراير	المنطقة
															الفصل
عجمى	الجيزر	٢١,٣	٢٤,٢	٢٨,٥	٣٠,٤	٣٤,٧	٣٥,٤	٣٦,٣	٣٦,٣	٣٥,٤	٣٦,٧	٣٠,٠	٢٥,٧	٢٨,٣	٢٨,٣
صقرى	الجيزر	١٢,٢	١٢,٢	١٦,٣	١٨,٨	٢٠,٨	٢٠,٦	١٩,٠	١٥,٨	١٢,٢	٩,٠	٧,٠	٦,٢	٨,١	١٣,٨
متوسط	متوسط	١٦,٦	١٦,٦	٢٠,٣	٢٤,٠	٢٧,٧	٢٨,٠	٢٦,٨	٢٦,٨	٢٧,٧	٢٥,٥	١٨,٩	١٢,٠	١٢,٢	١٣,٨
عظمى	عظمى	١٩,٦	١٩,٦	٢٠,٣	٢٤,٨	٢٤,٨	٢٤,٨	٢٣,٢	٢٣,٢	٢٣,٢	٢٣,٨	٢٥,٨	٢٩,٥	٢٩,٥	٢٩,٥
صغرى	صغرى	٦,٢	٦,٢	٩,٠	٩,٠	٩,٧	٩,٧	٦,٨	٦,٨	٦,٨	٦,٨	٥,٨	٧,٤	٧,٤	٧,٤
بني سويف	متوسط	١٢,٧	١٢,٧	٢١,٧	٢١,٧	٢٠,٤	٢١,٧	١٣,٧	١٣,٧	٢٠,٤	٢٤,٢	١٢,٠	١٢,٠	١٤,٥	١٤,٥
بني سويف	متوسط	١٦,٣	١٦,٣	٢٢,٠	٢٢,٠	٢٥,٩	٢٥,٩	٢٩,٣	٢٩,٣	٢٧,٥	٢٦,٣	١٨,٩	٢٢,٠	٢٢,٠	٢٢,٠
عجمى	عجمى	٢٠,٣	٢٠,٣	٢١,٦	٢١,٦	٢٥,٠	٢٥,٠	٣١,٥	٣١,٥	٣٧,٠	٣٧,٠	٣٤,٩	٣٦,٠	٢٩,٦	٢٩,٦
صغرى	صغرى	٦,٠	٦,٠	٦,٠	٦,٠	٧,٧	٧,٧	٩,٣	٩,٣	١٣,٠	١٣,٠	١٦,٨	٢١,٥	١٧,٣	١٦,٣
متوسط	متوسط	١٤,٦	١٤,٦	١٣,١	١٣,١	١٧,١	١٧,١	٢١,٦	٢١,٦	٢٥,٤	٢٥,٤	٢٦,٣	٢٧,٤	٢١,٩	١٦,٣
عظمى	عظمى	٢١,٥	٢١,٥	٢٩,٢	٢٩,٢	٢٨,٢	٢٨,٢	٢٩,٣	٢٩,٣	٢٧,٤	٢٧,٤	٢٤,٣	١٩,٠	١٢,١	١٦,٣
صغرى	صغرى	٦,٠	٦,٠	٦,٠	٦,٠	٦,٠	٦,٠	٩,٣	٩,٣	١٣,٠	١٣,٠	١٩,٧	٢١,٣	١٩,٦	١٦,١
متوسط	متوسط	١٤,٤	١٤,٤	١٣,١	١٣,١	١٧,١	١٧,١	٢١,٦	٢١,٦	٢٥,٤	٢٥,٤	٢٦,٣	٢٧,٤	٢١,٩	١٦,٢
عجمى	عجمى	١٩,٩	١٩,٩	٢٤,٧	٢٤,٧	٢٨,٧	٢٨,٧	٢٧,٩	٢٧,٩	٢٥,١	٢٥,١	١٧,٠	١٤,١	١٤,٤	٢١,٦
صغرى	صغرى	٦,٠	٦,٠	٦,٠	٦,٠	٦,٠	٦,٠	٩,٣	٩,٣	١٣,٠	١٣,٠	١٩,٧	٢١,٣	١٩,٦	١٦,١
متوسط	متوسط	١٢,٩	١٢,٩	١٨,٧	١٨,٧	٢٣,٩	٢٣,٩	٢٦,٨	٢٦,٨	٢٨,٧	٢٨,٧	٢٣,٩	٢٣,٩	٢١,٦	٢١,٦



شكل (٤) : توزيع متوسط درجة الحرارة بمنطقة الدراسة.

- التبخر: انعكس ارتفاع درجة الحرارة على معدلات التبخر بالمنطقة حيث بلغ المتوسط السنوي للتبخر في منطقة الدراسة ٨,٠ مم، حيث يرتفع هذا المعدل ليصل إلى ١٠,٥ مم فيبني سويف بينما ينخفض ليصل إلى ٦,٦ مم في الجيزة وقد سجلت الفيوم معدل تبخر بلغ ٧,٠ مم (جدول ٧). و يعد شهر يونيو أعلى هور السنة من حيث معدل التبخر والذي بلغ ١٢,٣ مم، حيث يصل هذا المعدل إلى ١٦,٥ مم فيبني سويف بينما بلغ ١٠,٥ في الجيزة في نفس الشهر في حين بلغ ١١,٠ مم في الفيوم ولكن في شهر يوليو. ويؤدي زيادة معدلات التبخر إلى ارتفاع معدلات فقدان التربة لمحتها الرطوبية ومن ثم جفافها ثم تصرّحها (شكل ٥).

- المطر: بلغ المتوسط السنوي للمطر في المنطقة ١,٣ مم، حيث يرتفع هذا المتوسط ليصل إلى ٢,٢ مم في الجيزة بينما يصل إلى ٠,٩ مم في محطةبني سويف والفيوم (جدول ٨ وشكل ٦). و يعد شهر ديسمبر أعلى شهور السنة من حيث كمية المطر والتي بلغ متوسطها ٣,٤ مم، في حين يعد شهر يناير أعلى شهور السنة من حيث كمية المطر في الجيزة بمتوسط بلغ ٥,٩ مم، ويأتي شهر أبريل كأعلى شهور السنة من حيث كمية المطر فيبني سويف بمتوسط بلغ ١,٩ مم وشهر مارس بالنسبة للفيوم بمتوسط بلغ ٢,٣ مم. وتتسم شهور فصل الصيف بإندفاع المطر، بينما يتراكم المطر شتاءً ويقل في الربيع والخريف.

جدول (٧) : معدلات التبخر بمطارات مدنية للدراسة.

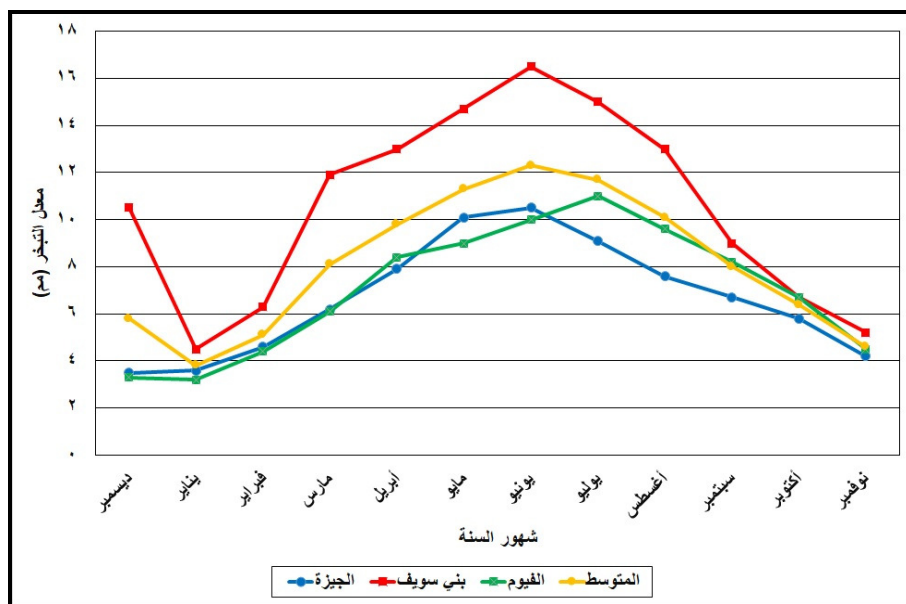
المحطة	لسمير	بنابر	فبراير	مارس	أبريل	مايو	يونيو	يوليو	أغسطس	سبتمبر	أكتوبر	نوفمبر	ديسمبر	الموسط	الفصل
الجذرة	٣,٦	٤,٦	٦,٢	٧,٩	٩,١	١٠,٥	١٠,١	٧,٦	٩,١	٦,٧	٥,٨	٤,٢	٦,٦	٦,٦	
بني سويف	٣,٥	٤,٥	٦,٣	٦,٧	٩,٠	١٣,٠	١٥,٠	١٦,٥	١٦,٧	١٣,٠	١١,٩	٥,٢	١٠,٥	١٠,٥	
الفيوم	٣,٢	٤,٢	٦,١	٦,٧	٨,٢	٩,٦	١١,٠	٩,٠	٨,٧	٤,٥	٤,٥	٦,٧	٧,٠	٧,٠	
المتوسط	٥,٨	٥,١	٩,٨	١١,٣	١٢,٣	١١,٧	١١,١	١١,٧	٩,٨	٨,١	٦,٤	٦,٤	٨,٠	٨,٠	

المصدر: الهيئة العامة للأرصاد الجوية، بيانات غير منشور، ٢٠٠٥.

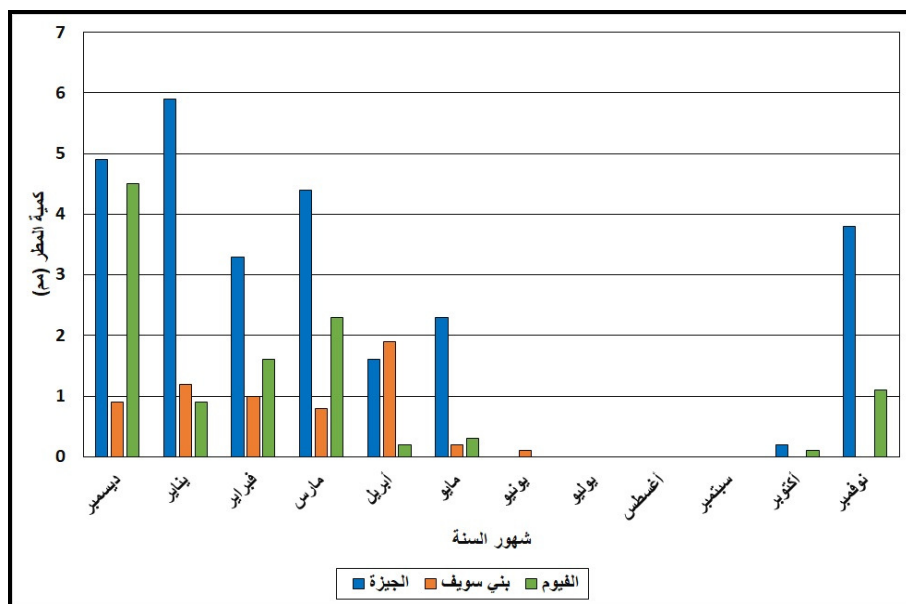
جدول (٨) : معدلات المطر بمطارات منطقة الدراسة.

المحطة	لسمير	بنابر	فبراير	مارس	أبريل	مايو	يونيو	يوليو	أغسطس	سبتمبر	أكتوبر	نوفمبر	ديسمبر	الموسط	الفصل
الجذرة	٣,٣	٤,٤	٥,٩	٦,٤	٦,٦	٧,٣	٩,٣	١٠,٣	١١,٦	١٢,٣	١٠,٠	٩,٠	٧,٨	٧,٢	
بني سويف	١,٢	٠,٩	١,٢	١,٠	١,٠	١,٩	١,٨	١,٠	٠,٢	٠,٢	٠,٢	٠,٢	٠,٢	٠,٩	٠,٩
القيرم	٤,٥	٤,٥	٥,٩	٦,٦	٦,٦	٦,٣	٦,٣	٦,٣	٦,٣	٦,٣	٦,٣	٦,٣	٦,٣	٦,٣	٦,٣
المتوسط	٣,٤	٣,٤	٢,٧	٢,٠	٢,٥	١,٢	٠,٩	٠,٩	٠,٩	٠,٩	٠,٩	٠,٩	٠,٩	١,٣	١,٣

المصدر: الهيئة العامة للأرصاد الجوية.



شكل (٥) : توزيع معدلات التبخر بمنطقة الدراسة.



شكل (٦) : كمية المطر بمنطقة الدراسة.

- **مؤشر الجفاف:** يعد الجفاف أحد الأسباب الرئيسية لحدوث التصحر، حيث يؤدي الجفاف إلى فقدان التربة محتواها المائي مما يعدل من تصرّفها. وقد تم الاعتماد على معادلة ديمارتون De Martonne لحساب معيار الجفاف والذي يتمثل في القيمة الفعلية للمطر عن طريق العلاقة بين كمية المطر السنوي بالملليمتر ومعدل درجة الحرارة بالدرجات المئوية وذلك وفق المعادلة الآتية:

$$\text{مؤشر الجفاف} = \frac{\text{(معدل المطر السنوي (مم))}}{(\text{معدل درجة الحرارة (درجة مئوية)} + 10)}$$

جدول (٩) : القيمة الفعلية للمطر (مؤشر الجفاف) عند ديمارتون.

نوع الغطاء النباتي	صفة الإقليم	مؤشر الجفاف	م
صحراء	جاف	أقل من ٥	١
حشائش قصيرة	شبه جاف	١٠ - ٥ من	٢
إسبس	رطب نوعاً ما	٢٠ - ١٠ من	٣
حشائش غنية	رطب	٣٠ - ٢٠ من	٤
غابات	شديد الرطوبة	٣٠ فأكثر	٥

المصدر: محمد فوزي (٢٠٢٠) : جغرافية الأراضي الجافة،بني سويف، ص ٢٩.

ووفقاً لمؤشر الجفاف تدرج الأقاليم وفق أمطارها الفعلية إلى الأقسام التي يوضحها الجدول (٩). والجدول (١٠) يوضح القيمة الفعلية للمطر في محطات منطقة الدراسة والذي يتضح منه أن المتوسط العام لمؤشر الجفاف بالمنطقة بلغ ٠٠٥، وبالتالي تقع المنطقة في نطاق الأقاليم الجافة، حيث يرتفع هذا المتوسط ليصل إلى ٠٠٨ في الجيزة بينما ينخفض إلى ٠٠٢ في بني سويف.

جدول (١٠) : مؤشر الجفاف بمحطات منطقة الدراسة.

المحلطة	ديسمبر	يناير	فبراير	مارس	أبريل	مايو	يونيو	يوليو	أغسطس	سبتمبر	أكتوبر	نوفمبر	المنطقة الفضلى
الجيزر	٠٢	٠٣	٠٤	٠٥	٠٦	٠٧	٠٨	٠٩	٠١٠	٠١١	٠١٢	٠١٣	٠٠٨
بني سويف	٠٥	٠٦	٠٧	٠٨	٠٩	٠١٠	٠١١	٠١٢	٠١٣	٠١٤	٠١٥	٠١٦	٠٠٧
الفيوم	٠٨	٠٩	٠١٠	٠١١	٠١٢	٠١٣	٠١٤	٠١٥	٠١٦	٠١٧	٠١٨	٠١٩	٠٠٤
المتوسط	٠١٤	٠١٢	٠١٣	٠١٤	٠١٥	٠١٦	٠١٧	٠١٨	٠١٩	٠٢٠	٠٢١	٠٢٢	٠٠٥

المحسن: من إعداد الباحث انتداباً على مملاكه بمصر تكون وجداول رقم (١٠) ورقم (١١).

٧) خصائص التربة:

تم الاعتماد في دراسة تربة منطقة الدراسة على خرائط أكاديمية البحث العلمي للتربة في مصر مقياس ١ : ١٠٠,٠٠٠ لعام ١٩٨٧ ، والتي تتبع التصنيف الأمريكي للتربة، ويوضح الجدول (١١) والشكل (٧) أنماط التربة بمنطقة الدراسة، وفيما يلي عرض لأنماط التربة في المنطقة:

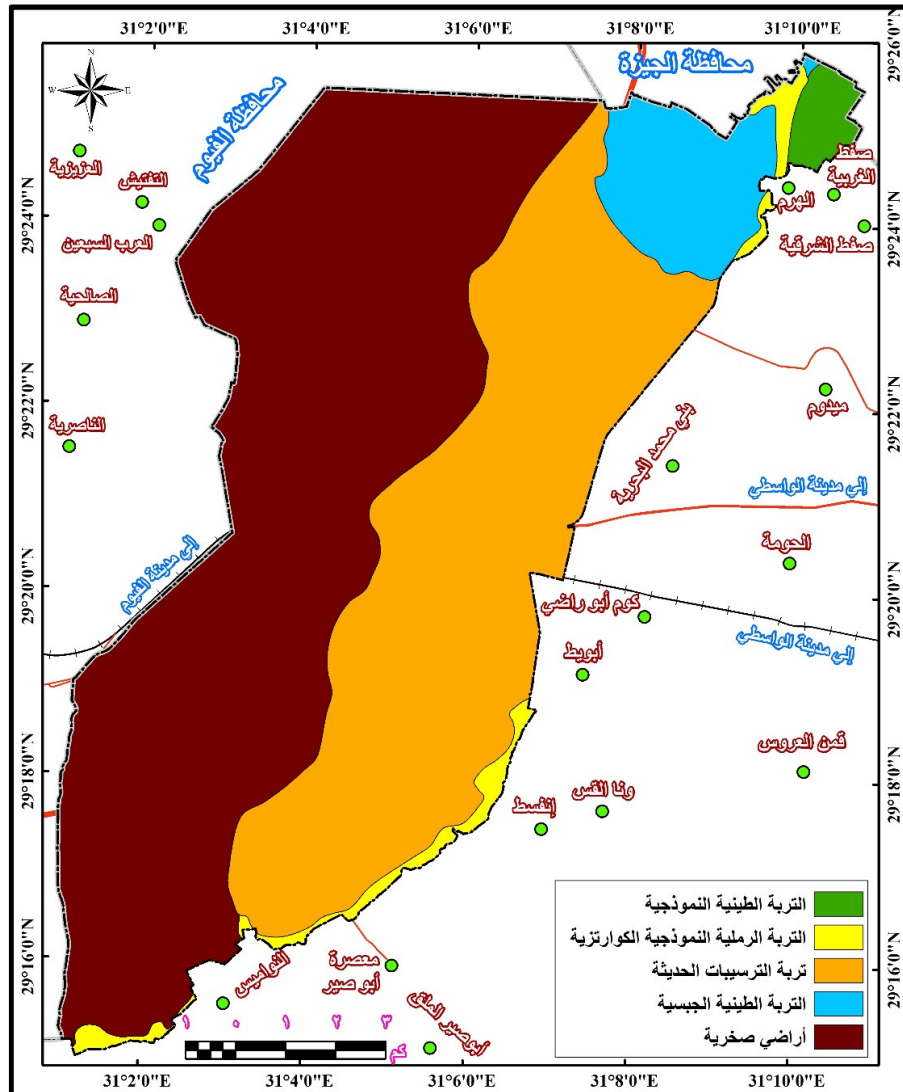
جدول (١١) : أنماط التربة بمنطقة الدراسة.

(%)	المساحة (كم²)	نوع التربة
١,٥	٢,٢	التربة الطينية النموذجية
٢,٤	٣,٦	التربة الرملية النموذجية الكوارتزية
٣٥,٧	٥٤,٥	تربة الترسيبات الحديثة
٦,٢	٩,٥	التربة الطينية الجبسية
٥٤,٢	٨٢,٧	أراضي صخرية
١٠٠	١٥٢,٥	الإجمالي

المصدر: من عمل الباحث اعتماداً على الشكل (٧).

- **التربة الطينية النموذجية Typic Torrerts:** أحد أنماط التربة في منطقة الدراسة والتي تنتمي إلى رتبة Vertsols وهي ترب حديثة كونتها الرواسب المائية في السهول الفيضية، وتعد واحدة من أفضل التربات في مصر (صورة ١). وتبدو التربة الطينية النموذجية ذات لون بني داكن، حيث تحتوي على الطين بنسبة تزيد على ٤٥ % والطفل بنسبة تزيد على ٣٥ %، كما تبدو هذه التربة مشقة حتى عمق ١م، كما أنها تربة ذات قوام ناعم إلى ناعم جداً، حيث تبدو متمسكة ومندمجة في الطبقة السطحية وأكثر اندماجاً وتماسكاً بالتعふ فيها، ومن ثم تحتاج هذه التربة إلى مزيد من الرعاية الزراعية ممثلة في الحرث العميق واستخدام الجبس الزراعي لتقليل درجة تماسكها. ويتسم هذا النمط بأنه ذو حساسية بيئية عالية للتصحر من حيث مؤشر نسيج التربة كما أنها ذات حساسية بيئية منخفضة من حيث مؤشر عمق

قطاع التربة. ويغطي هذا النمط من أنماط التربة نحو $2,2 \text{ كم}^2$ بنسبة $1,5\%$ من مساحة المنطقة، حيث يظهر في الجزء الشمالي الشرقي من المنطقة حيث الهامش الغربي للسهل الفيضي في منطقة الدراسة.



شكل (٧) : أنماط التربة بمنطقة الدراسة.

المصدر: أكاديمية البحث العلمي، خرائط التربة بالوجه القبلي لوحه (١٩٨٧).

- التربة الحديثة الرملية النموذجية الكوارتزية **Typic Quartizipsamments**: أحد أنماط التربة في المنطقة والتي تتنمي إلى رتبة Psamments، وهي تربة حديثة ذات قوام رملي في الطبقة السطحية بعمق ٢٥ سم وحتى عمق ١م من سطح التربة. وتمتاز التربة الحديثة الرملية النموذجية الكوارتزية بتكوينها من الرواسب الرملية العميق، حيث تبدو على هيئة تربة خشنة القوام رملياً إلى رملية حصوية وتحتوي على بعض التداخلات من المواد السليكية والجيرية، كما تتسنم بأنها تربة جيدة التهوية شديدة المسامية درجة أحتفاظها بالمياه قليلة (صورة ٢). وبعد هذا النمط من أنماط التربة ذو حساسية بيئية عالية للتصرّر من حيث مؤشر نسيج التربة وذو حساسية بيئية منخفضة من حيث مؤشر عمق قطاع التربة. ويغطي هذا النمط نحو ٣,٦ كم^٢ بنسبة ٤,٢% من مساحة منطقة الدراسة، حيث تمتد على هيئة شريط ضيق على امتداد الحد الشرقي للمنطقة الملائق للسهل الفيضي شرقاً.

- تربة الترسيبات الحديثة **Typic Torriorthents**: أحد أنماط التربة الحديثة في المنطقة والتي تتنمي إلى رتبة Orthents، وهي تربة حديثة التكوين ذات قوام طمي أو طيني وقطاعها غير عميق وتميز بالانخفاض المنتظم لمحتوها من المادة العضوية مع العمق. وبصفة عامة فهي عبارة عن رواسب نهرية قديمة جاءت بها الأودية الجافة وتنشر على أطراف المنطقة. وقد تكونت هذه التربة في ظل ظروف بيئية جافة وبالتالي فهي أقل تجانساً في قطاعها كما تتسنم بانخفاض محتواها من الحصى حيث تبدو رملية في قطاعها العلوي وحصوية في قطاعها السفلي (صورة ٣). وبعد هذا النمط ذو حساسية بيئية مرتفعة للتصرّر من حيث مؤشر نسيج التربة وحساسية متوسطة من حيث عمق قطاع التربة. ويغطي هذا النمط نحو ٥٤,٥ كم^٢ بنسبة ٣٥,٧% من مساحة المنطقة، حيث تغطي الجزء الشرقي من المنطقة غرب طريق القاهرة أسيوط الصحراوي الغربي، وهي تمثل أهم مناطق الاستصلاح الزراعي في المنطقة.

- التربة الطينية الجبسية **Petrogypsic Gypsiorthids**: أحد أنماط التربة الجافة في المنطقة والتي تتنمي إلى الترسيبات التي ليس لها صفات محددة Orthents، وهي تربة حديثة تتكون من الطين والجبس ذات الأفق الصخري أو صخري له حدود علوية في حدود ١٠٠ سم من سطح التربة. وتوجد هذه التربة في المناطق الجافة جداً من العالم حيث تحتوي المادة الأم على نسبة عالية من الجبس. وعندما يكون الأفق الصخري قريباً من السطح، فإن التنقش يشكل أنماطاً سدايسية زائفة على سطح

التربة (Soil Survey Staff, 1999, p. 386). ويؤثر نمط التربة الجبسية في الحساسية البيئية للتصرّح من حيث مؤشر نسيج التربة وعمق قطاع التربة حيث يقع هذا النمط في فئة الحساسية المرتفعة نسبياً في كلا المؤشرين. ويغطي هذا النمط نحو ٩,٥ كم^٢ بنسبة ٦,٢% من مساحة المنطقة تظهر شمال وشمال شرق المنطقة وذلك إلى الغرب من قرية الهرم وقرية ميدوم.

- **الأراضي الصخرية Rock lands:** تظهر الأراضي الصخرية في الجزء الغربي من منطقة الدراسة ممثلاً في نطاق التلال الغربية ومنحدراتها داخل حدود المنطقة. وبعد هذا النمط من أنماط التربة ذات حساسية بيئية عالية للتصرّح من حيث مؤشر عمق قطاع التربة كما أنه ذو حساسية بيئية منخفض للتصرّح من حيث مؤشر نسيج التربة. وتغطي الأراضي الصخرية حوالي ٨٢,٧ كم^٢ بنسبة ٥٤,٢% من مساحة المنطقة.

ثانياً - نموذج MEDALUS لحساسية التربة للتصرّح :

بعد نموذج MEDALUS أحد أهم النماذج المستخدمة في قياس حساسية التربة للتصرّح في منطقة محلية والذي يعرف أيضاً بمؤشر الحساسية البيئية Environmental Sensitivity Index (ESI)، حيث يجمع النموذج بين أربعة مؤشرات فرعية لقياس حساسية التربة للتصرّح، وهي مؤشرات جودة التربة وجودة الغطاء النباتي وجودة المناخ وجودة الإدارية. وقد تم الاعتماد على مؤشرات جودة التربة وجودة الغطاء النباتي وجودة المناخ في هذه الدراسة واستثناء مؤشر جودة الإدارية نظراً لوقوع منطقة الدراسة في نطاق الظهير الصحراوي بعيداً عن حدود القرى التي يمكن من خلالها حساب بعض عناصر هذا المؤشر مثل عناصر الكثافة السكانية الزراعية والتكتيف الزراعي ومعدل النمو السكاني ومؤشر نسبة كبار السن. وقد اعتمد (Gad and Lotfy, 2006) على ثلاثة مؤشرات لقياس حساسية التربة للتصرّح هي مؤشرات جودة التربة وجودة الغطاء النباتي وجودة المناخ، في حين اعتمد (Gad, 2008) على مؤشرين فقط هما مؤشر جودة التربة ومؤشر جودة الغطاء النباتي، كما اعتمدت (شربات بشندي، ٢٠١٨) على ثلاثة مؤشرات هي مؤشرات جودة التربة وجودة الغطاء النباتي وجودة المناخ. وبهدف هذا النموذج إلى تقييم مخاطر التصرّح في منطقة محلية باستخدام مؤشر الحساسية البيئية من خلال الجمع بين البيانات المتاحة عن جودة التربة والغطاء النباتي والمناخ، حيث تتميز هذه الأداة بالمرنة في حساب درجة الخطورة اعتماداً على البيانات المتاحة كما أنه يمكن إضافة

بعض العناصر الجديدة إليها وفق المعطيات البيئية. كما تتمثل الأهداف الثانوية لهذا النموذج في استقصاء السيناريوهات المحتملة في استخدام الأرض وتدهور التربة. وتتمثل أهمية هذا النموذج في امكانية دمج المعلومات المختلفة عن التربة والغطاء النباتي والمناخ وفق ظروف بيئية معينة ضمن نظام معياري للحصول على درجة الحساسية البيئية للتتصحر. ويتم حساب مؤشر الحساسية البيئية للتتصحر وفق المعادلة الآتية:

$$DSI = (SQI * VQI * CQI)^{1/3} \quad (\text{Gad and Lotfy, 2006, p. 6})$$

حيث أن **DSI** مؤشر حساسية التتصحر Desertification Sensitivity Index وأن **SQI** مؤشر جودة التربة وأن **VQI** مؤشر جودة الغطاء النباتي وأن **CQI** مؤشر جودة المناخ.

وقد تم استبعاد مناطق الاستخدامات البشرية الممثلة في منطقة كوم أبو راضي الصناعية وورش قطارات كوم أبو راضي ومحطة صرف الوسطى من تطبيق نموذج MEDALUS والتي تعطي نحو ٤,٣ كم^٢ بنسبة ٢,٨% من مساحة منطقة الدراسة.

وتنقسم نتائج هذا المؤشر إلى خمسة أقسام تحدد فئات الحساسية البيئية للتتصحر وهي:

- **المناطق غير المتأثرة بالتتصحر:** وهي المناطق التي تكون فيها العوامل الحرجة منخفضة جدًا أو غير موجودة، مع توازن جيد بين العوامل البيئية والاجتماعية والاقتصادية.
- **المناطق قليلة التأثر بالتتصحر:** وهي المناطق المهددة بالتتصحر في ظل تغير مناخي كبير، إذا تم تنفيذ مزيج معين من استخدام الأرضي أو حيث ستؤدي التأثيرات الخارجية إلى مشاكل خطيرة. وقد يشمل ذلك أيضًا الأرضي المهجورة التي لا تدار بشكل صحيح.
- **المناطق متوسطة التأثر بالتتصحر:** وهي المناطق التي يحتمل أن يؤدي فيها أي تغيير في التوازن الدقيق بين النشاط الطبيعي والبشري إلى التتصحر.
- **المناطق المتأثرة بالتتصحر:** وهي المناطق التي تدهورت بالفعل بشكل كبير من خلال سوء الاستخدام في الماضي، مما يشكل تهديدًا لبيئة المناطق المحيطة أو مع عمليات تصحر واضحة.
- **المناطق شديدة التأثر بالتتصحر:** وهي المناطق التي تدهورت بشكل كبير جداً يعوق إمكانية استعادتها.

وفيما يلي عرض لمؤشرات الحساسية البيئية للتصرّف بمنطقة الدراسة:

١) مؤشر جودة التربة:

تعتبر خصائص التربة عاملًا مهمًا للغاية في النظم البيئية الأرضية في المناطق شبه القاحلة والجافة شبه الرطبة، لاسيما فيما يتعلق بتأثيرها على الجدرة الانتاجية للتربة، حيث تبدأ عملية التصرّف عندما تصبح التربة غير قادرة على تزويد النبات بالماء والمغذيات في ظل ضحالة عمق قطاع التربة الذي تتفّذ فيه جذور النبات للحصول على الماء والغذاء. ويتم حساب مؤشر جودة التربة الكلي من خلال المعادلة الآتية:

$$SQI = (Ip * It * Id * Is)^{1/4} \quad (\text{Gad and Lotfy, 2006, p. 3})$$

حيث أن SQI مؤشر جودة التربة Soil Quality Index وأن Ip مؤشر مادة الأصل وأن It مؤشر نسيج التربة وأن Id مؤشر عمق قطاع التربة وأن Is مؤشر درجة الانحدار.

وفيما يلي عرض لمؤشرات جودة التربة:

أ- مؤشر مادة الأصل:

تعد مادة الأصل عاملًا مكونًا للتربة يؤثر على خصائصها وعلى نمو النبات وتأكل التربة ومرءونة النظام البيئي. ووترتبط التربة ارتباطاً وثيقاً بمادة الأصل التي اشترت منها، فالتربيه المتكوّنة من الحجر الجيري عادةً ما تكون ذات ملمس ناعم إلى حد ما، وبطبيعة الفانية، ذات درجة حموضة عالية، وتشبع قاعدي مرتفع وحالة مغذية عالية، أما التربة المتكوّنة من أحجار رملية تكون عادةً ذات قوام خشن، ونفاذية عالية، ودرجة حموضة منخفضة، انخفاض التشبع الأساسي، وانخفاض حالة المغذيات^(١) (صورة ٤). ويوضح الجدول (١٢) والشكل (٨) فئات مؤشر مادة الأصل والذي يتضح منها أن ٦٢,٦٪ من مساحة المنطقة ذات مادة أصل رديئة، حيث تتألف مادة الأصل فيها من الرواسب الرملية والطميّة والطينية وهي السمة الغالبة على سطح المنطقة، حيث تغطي الجزء الشرقي والأوسط بالإضافة إلى الهولمش الغربية للمنطقة. وتغطي الأجزاء ذات مادة الأصل متوسطة التماسك والتي تتألف من الحجر الرملي والجيري حوالي ٣٣,٨٪ من مساحة المنطقة حيث تنتشر في الجزء الغربي والأوسط من المنطقة، في حين تغطي الأجزاء جيدة التماسك نحو ٠,٨٪ من مساحة المنطقة وتظهر أقصى شمال شرق المنطقة في نطاق السهل الفيضي غرب قرية صفت الغربية.

(1) parent_material (europa.eu)

جدول (١٢) : فئات مؤشر مادة الأصل وأوزانها بمنطقة الدراسة.

الفئة	الحالة	الوصف	المؤشر	المساحة (كم²)	(%)
١	جيد (متماسك)	الحجر الجيري، الدولomit، الحجر الرملي غير الهش، طبقة الحجر الجيري الصلب.	١	١,٣	٠,٨
٢	متوسط (متوازن)	الحجر الجيري البحري، الحجر الرملي الهش.	١,٥	٥١,٥	٣٣,٨
٣	ردي (هش)	الطين الجيري، والطين، الرواسب الرملية، والطمي، والطين.	٢,٠	٩٥,٤	٦٢,٦

المصدر: من إعداد الباحث اعتماداً على شكل (٨).

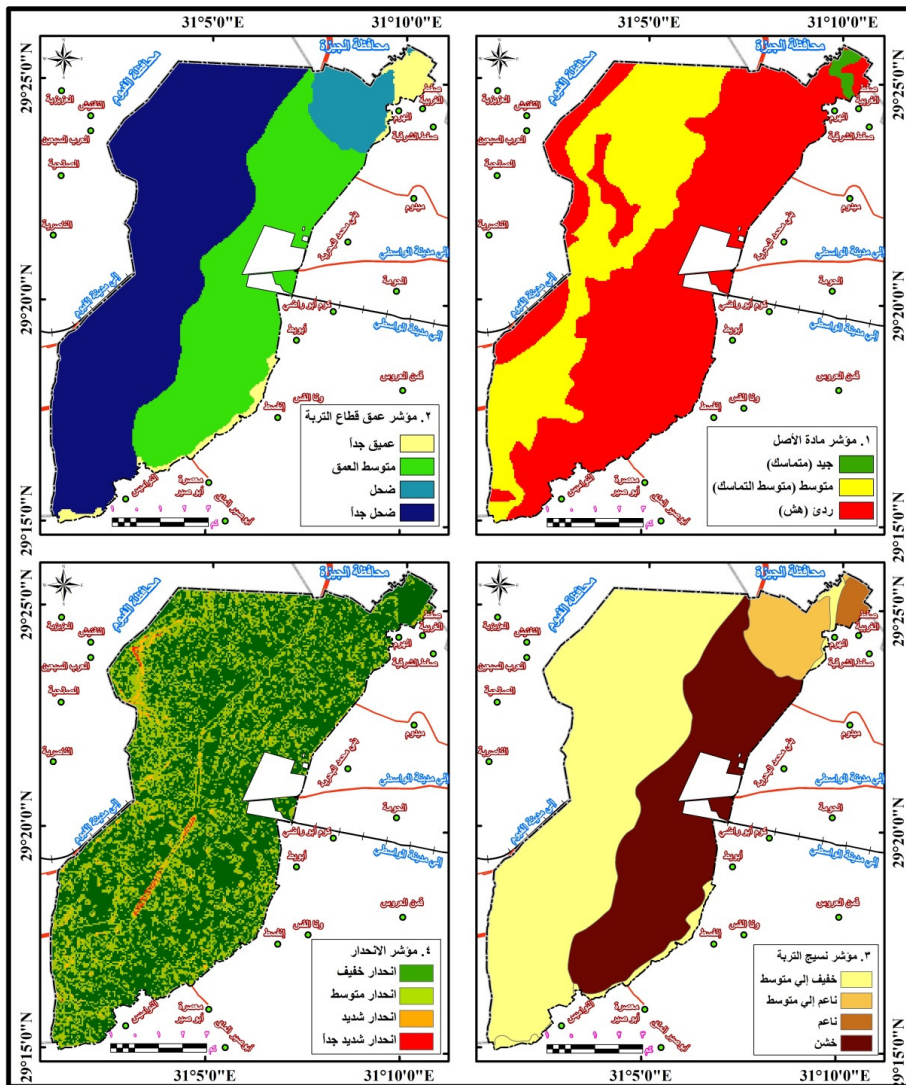
ب - مؤشر نسيج التربة:

يقصد بنسيج التربة حجم الحبيبات التي تتكون منها التربة ونسبة المواد التي يتتألف منها ممثلة في الرمل والطمي والطين، وبصفة عامة فإن نسيج التربة يتغير ببطء مع مرور الوقت. ويؤثر نسيج التربة تأثيراً عميقاً على تصريف التربة، والقدرة على الاحتفاظ بالمياه، ودرجة حرارة التربة، وتأكل التربة، فضلاً عن الخصوبة والإنتاجية. ويوضح الجدول (١٣) والشكل (٨) فئات مؤشر نسيج التربة والذي يتضح منها أن حوالي ٣٤,٣% من مساحة منطقة الدراسة ذات تربة مرتقبة الحساسة للتصرّر والتي تنتشر في الجزء الشرقي من المنطقة شرق طريق القاهرة أسيوط الصحراوي الغربي، حيث تتمثل في التربة الرملية الخشنة والتربة الطينية الطميّة الناعمة، حيث تؤثر التعرية بفعل الرياح بشكل كبير في التربة الرملية الزراعية في المناطق ذات الموسام الجافة، حيث تزيد معدلات نحت الرياح عند إزالة الغطاء النباتي مما يهدد بتصرّر التربة (صورة ٥)، بينما التربة الطينية ذات تصريف ضعيف للمياه الزائدة وقد تصبح مشبعة بالمياه. ويؤثر نسيج التربة على مقاومة التربة للتعرية، كلما كان نسيج التربة خشنًا، كانت مقاومة التربة للتعرية أقل. كذلك يلاحظ من الحدود أيضًا أن ٥٦,٧% من مساحة المنطقة ذات نسيج تربة قليل الحساسية للتصرّر والذي يتمثل في خليط الرمل والطمي والذي ينتشر في الجزء الغربي من المنطقة غرب طريق القاهرة أسيوط الصحراوي الغربي، في حين أن ٦,٢% من مساحتها ذات نسيج تربة متوسط الحساسية، حيث تظهر شمال شرق المنطقة.

جدول (١٢) : فئات مؤشر تسييج التربة وأوزانها بمدحنة الدراسة.

اللفته	الحالة	الوصف	المؤشر	المساحة (كم²)	(%)
١	رمل طمي، طمي رملي، متوازن	١	٤,٦	٥٧,٧	
٢	طيني طمي، رمل طيني، طمي طيني رملي	١,٦٦	٩,٥	٢,٦	
٣	طيني ناعم - طي طيني	٢	٢,١	١,٤	
٤	رملي	٢	٥٠,٢	٣٢,٩	

المصادر: من إعداد الباحث اعتماداً على شكل (٨).



شكل (٨) : مؤشرات جودة التربة بمنطقة الدراسة.

المصدر: من إعداد الباحث اعتماداً على: كونكورال لوحة بنى سويف مقياس ١ : ٥٠٠٠٠، أكاديمية البحث العلمي، خرائط التربة بالوجه القبلي لوحة (١) ١٩٨٧، والملفات الرقمية التي تنتجها هيئة المساحة الجيولوجية الأمريكية USGS.

ج- مؤشر عمق قطاع التربة:

يعد عمق قطاع التربة أحد أهم مؤشرات جودة التربة، فكلما كانت التربة ذات قطاع عميق كلما ساهم ذلك في امتداد جذور النباتات في التربة للحصول على المياه والمعذيات ومن ثم ثبيت التربة ومنع تعريتها وانجرافها وتدهورها. وبعد تدهور التربة بسبب التعرية تهديداً خطيراً لنوعية التربة وإنتاجيتها في المناطق الصحراوية والجبلية، حيث تعتمد معدلات تأكل التربة إلى حد كبير على سمك ونوعية التربة السطحية وطبيعة التربة التحتية. وبشكل عام فإن التربة العميقة لا تتأثر بعمليات التعرية وتكون مقاومة لعمليات التصحر، في حين أن معظم التربات الجبلية ضحلة أو لها بعض الخصائص غير المرغوب فيها مثل الأفق الصخري والتي تؤثر سلباً على عملية الإنبات^(١). ويوضح الجدول (١٤) والشكل (٨) فئات مؤشر عمق قطاع التربة بمنطقة الدراسة والذي يتضح منها أن ٥٤,٣٪ من مساحة المنطقة ذات قطاع تربة ضحل جداً ممثلاً في تربة السهول الصحراوية والمرتفعات الغربية من المنطقة وبالتالي فهي ذات حساسية بيئية مرتفعة للتتصحر، في حين أن ٣,٨٪ من مساحة المنطقة ذات قطاع عميق جداً والذي يظهر شمال شرق المنطقة في نطاق السهل الفيضي، بينما تغطي التربة ذات القطاع متوسط العمق حوالي ٣٢,٩٪ من مساحة المنطقة والتي تتمثل في الجزء الشرقي من المنطقة بينما تغطي المناطق ذات التربة الضحلة حوالي ٦,٢٪ من مساحة المنطقة.

جدول (١٤) : فئات مؤشر عمق قطاع التربة وأوزانها بمنطقة الدراسة.

الفئة	الحالة	الوصف	المؤشر	المساحة (كم²)	(%)
١	عميق جداً	أكثر من ١٠٠ سم	١	٥,٧	٣,٨
٢	متوسط العمق	من ٥٠ - ١٠٠ سم	١,٣٣	٥٠,٢	٣٢,٩
٣	غير عميق (ضحل)	من ٥٠ - ٢٥ سم	١,٦٦	٩,٥	٦,٢
٤	رقيق جداً (ضحل جداً)	أقل من ٢٥ سم	٢	٨٢,٨	٥٤,٣

المصدر: من إعداد الباحث اعتماداً على شكل (٨).

(1) soil_depth (europa.eu)

د- مؤشر الانحدار:

يعد مؤشر انحدار السطح من المؤشرات المهمة التي يتألف منها نموذج MEDALUS والتي تعكس أثر الانحدار في معدلات جودة التربة وإنعكاس ذلك على الحساسية البيئية للتتصحر وذلك من خلال تأثير درجة انحدار السطح في درجة نشاط عوامل التعرية الخارجية ممثلة في التعرية المائية والهوانية والتي تزيد معدلاتها مع الأسطح شديدة الانحدار ونقل بإنخفاض الانحدار، فضلاً عن تأثيرها الواضح على حركة المواد على المنحدرات وما يترتب عليه من تدهور نوعية التربة. ويوضح الجدول (١٥) والشكل (٨) فئات مؤشر الانحدار والذي يتضح منها أن ٦١,١% من مساحة المنطقة ذات معدل انحدار خفيف يقل عن ٣,٥ درجة أو ٦% وبالتالي فهي مناطق ذات حساسية بيئية منخفضة للتتصحر والتي تظهر على امتداد السهول الصحراوية والمناطق المنبسطة بمنطقة الدراسة، في حين أن ٣٣,٣% من مساحة المنطقة ذات معدل انحدار معتدل نسبياً يتراوح بين ٣,٥ - ١٠,٠ درجة ويظهر على جوانب منخفض الفيوم والسهل الفيسي وعلى جوانب التلال بنطاق السهول الصحراوية. كذلك فإن ٢,٨% من مساحة المنطقة ذات انحدارات شديدة وشديدة جداً حيث تزيد درجة انحدارها على ١٠,٠ درجة وتتمثل في قمم المرتفعات شمال غرب وجنوب منطقة الدراسة وهي منحدرات ذات حساسية بيئية عالية للتتصحر.

جدول (١٥) : فئات مؤشر درجة انحدار السطح وأوزانها بمنطقة الدراسة.

الفئة	الحالة	الوصف	المؤشر	المساحة (كم²)	(%)
١	خفيف	أقل من ٦% (أقل من ٣,٥ درجة)	١	٩٣,٢	٦١,١
٢	معتدل نسبياً	من ٦-١٨% (من ٣,٥ - ١٠,٠ درجة)	١,٣٣	٥٠,٧	٣٣,٣
٣	شديد	من ١٨-٣٥% (من ١٠ - ١٩ درجة)	١,٦٦	٣,٥	٢,٣
٤	شديد جداً	٣٥% فأكثر (١٩ درجة فأكثر)	٢	٠,٨	٠,٥

المصدر: من إعداد الباحث اعتماداً على شكل (٨).

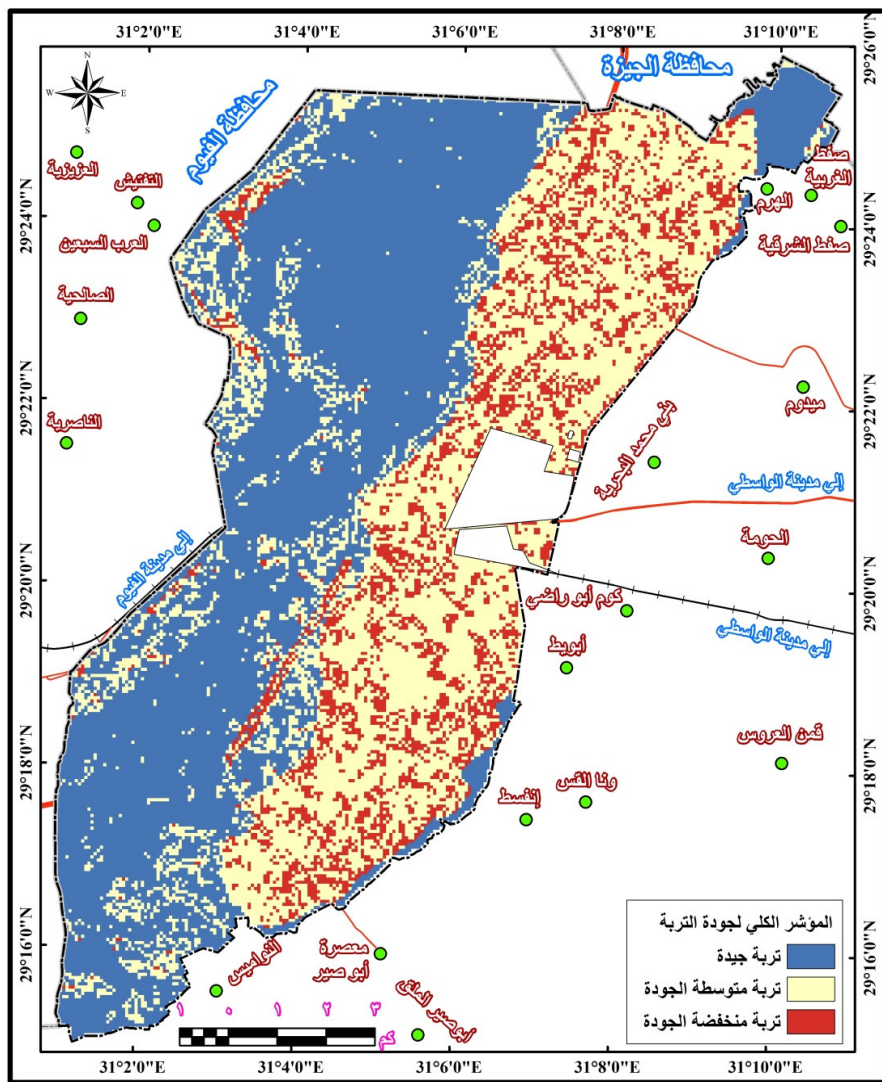
هـ- المؤشر الكلي لجودة التربة:

يمثل المؤشر الكلي لجودة التربة ناتج معادلة جودة التربة والتي تم من خلالها جبر خرائط المؤشرات الأربع سابقة الذكر في برمجيات نظم المعلومات الجغرافية للحصول على المؤشر الاجمالي لجودة التربة في منطقة الدراسة. ويوضح الجدول (١٦) والشكل (٩) المؤشر الاجمالي لنوعية التربة بمنطقة الدراسة والذي يتضح منها أن ١٢,١% من تربة منطقة الدراسة ذات جودة منخفضة والتي يزيد فيها مؤشر جودة التربة على ١,٤٥، وهي التربة خشنة القوام ذات مادة الأصل الهشة والانحدار المرتفع والعمق القليل والتي تمتد شرق منطقة الدراسة حيث هوامش السهل الفيسي لنهر النيل ومناطق الاستصلاح الزراعي شرق طريق القاهرة أسيوط الصحراوي الغربي ونطاق المرتفعات غرب المنطقة (صورة ٦). كذلك يلاحظ أن ٤٨,٨% من مساحة المنطقة ذات جودة جيدة وتظهر في الجزء الغربي من منطقة الدراسة حيث تتسم بمادة الأصل المتماسكة ونسيج التربة المتداخل بين الطمي والرمل والقطاع العميق والانحدار المنخفض عدا نطاق التلال، في حين تغطي المناطق ذات الجودة المتوسطة ٣٦,٣% من مساحة المنطقة وتظهر في الجزء الشرقي منها.

جدول (١٦) : المؤشر الاجمالي لنوعية التربة وأوزانها بمنطقة الدراسة.

الفئة	الحالة	المؤشر	المساحة (كم²)	(%)
١	جيدة	أقل من ١,١٣	٧٤,٤	٤٨,٨
٢	متوسطة	١,١٣ - ١,٤٥	٥٥,٤	٣٦,٣
٣	منخفضة	فأكثر من ١,٤٥	١٨,٤	١٢,١

المصدر: من إعداد الباحث اعتماداً على شكل (٩).



شكل (٩) : مؤشر جودة التربة الكلية بمنطقة الدراسة.

المصدر: من إعداد الباحث اعتماداً على الشكل (٨).

(٢) مؤشر جودة الغطاء النباتي:

يمثل الغطاء النباتي أحد المؤشرات الرئيسية التي يتكون منها نموذج MEDALUS لتقدير الحساسية البيئية للتصرّح، حيث يتم حساب هذا المؤشر اعتماداً على أربعة مؤشرات فرعية تتمثل في مؤشر كثافة الغطاء النباتي ومؤشر خطر الحرائق ومؤشر حماية التربة

من التعرية ومؤشر حماية التربة من الجفاف. وبعد الغطاء النباتي أحد أهم العناصر التي تحكم في عملية التصحر، فالغطاء النباتي يعمل على تثبيت التربة وحمايتها من التعرية والتدور مما يعوق تصحرها، خاصة في البيئات ذات النظم البيئية الهشة مثل بيئات هوامش السهل الفيضي والظهير الصحراوي الجاف التي تقع فيها منطقة الدراسة. كذلك يساهم النبات في خفض معدلات درجة حرارة التربة من خلال حجب أشعة الشمس المباشرة من الوصول إلى التربة الأمر الذي يقلل من معدلات التبخر فيها ومن ثم تقليل معدلات جفافها وتصحرها. وعلى الناحية الأخرى فإن انخفاض كثافة الغطاء النباتي بشكل دائم أو بعد الحصاد وترك التربة عارية لفترة يؤدي إلى تدهورها نتيجة تعرضها لعمليات التذرية والجفاف التي تعمل على تدهور خصائصها، أو نتيجة عرضها المباشر ل قطرات المطر ومن ثم تعريتها مائياً. ويتم حساب مؤشر جودة الغطاء النباتي الكلي من خلال المعادلة الآتية:

$$VQI = (I_{Ep} * I_{Dr} * I_{Vc} * IFR)^{1/4} \quad (\text{Ali \& El-Baroudy, 2006, p. 159})$$

حيث أن VQI مؤشر جودة الغطاء النباتي Vegetation Quality Index وأن I_{Ep} مؤشر حماية التربة من التعرية وأن I_{Dr} مؤشر حماية التربة من الجفاف وأن I_{Vc} مؤشر كثافة الغطاء النباتي وأن IFR مؤشر خطر الحرائق.

وفيمالي عرض لمؤشرات جودة الغطاء النباتي :

أ- مؤشر كثافة الغطاء النباتي:

يقيس مؤشر كثافة الغطاء النباتي المساحة المغطاة بالنباتات الخضراء والذي يعرف أيضا بمؤشر الورقة الخضراء (Chen, et al., 1997, p. 429) وهو تعبير بديل لمصطلح الغطاء النباتي يعطي مساحة الأوراق بالمتر المربع المقابل لمساحة متر مربع من الأرض. وبعد عامل كثافة الغطاء النباتي من العوامل المهمة التي تؤثر في عملية التصحر، حيث يؤدي إلى حماية التربة من التعرية الهوائية والمائية إلى جانب زيادة معدل المواد العضوية في التربة واستقرار مجموع التربة والقدرة على الاحتفاظ بالمياه وخفض معدلات الجريان السطحي وفقدان رواسب ومكونات التربة. وقد تم تحديد كثافة الغطاء النباتي بمنطقة الدراسة من خلال استخلاص الغطاء النباتي من صورة القمر الصناعي

Landsat (8) OLI_TIRS بتاريخ ١ فبراير ٢٠٢٢ م وذلك للوحة ٤٠/١٧٦ بدرجة وضوح ٣٠ متر وجودة ٩٠، وغطاء سحابي بنسبة ٢٦٪. وقد تم استخلاص الغطاء النباتي في الصورة من خلال دليل الفرق النباتي المتعادم The Normalized Difference Vegetation Index (NDVI)، وذلك وفق المعادلة الآتية:

$$NDVI = (NIR-R)/(NIR+R)$$

حيث أن $NDVI$ دليل الفروق النباتية المتعادم وأن NIR تمثل الاستجابة الطيفية في منطقة الأشعة تحت الحمراء القريبة وأن R تمثل الاستجابة الطيفية في المنطقة الحمراء.

ويوضح الجدول (١٧) فئات مؤشر كثافة الغطاء النباتي وأوزانها النسبية (شكل ١٠)، والذي يتضح منهم أن الأراضي ذات الغطاء النباتي الكثيف تمثل ٢٪ من مساحة المنطقة والتي تقع في نطاق السهل الفيسي في الشمال الشرقي وهوامش منخفض الفيوم في الشمال الغربي (صورة ٧)، بينما تغطي الأراضي ذات الغطاء النباتي متوسط الكثافة نحو ٢٪ من مساحة المنطقة والتي تظهر وسط المنطقة حيث مناطق الاستصلاح الزراعي (صورة ٨). أما المناطق التي تتسم بالغطاء النباتي منخفض الكثافة فتغطي ١١٪ من مساحة المنطقة وتظهر حول مناطق الاستصلاح الزراعي وسط المنطقة، بينما تغطي المناطق ذات الغطاء النباتي منخفض الكثافة جداً حوالي ٣٪ من مساحة المنطقة وتمثل في السهول الصحراوية المتشعة والمنحدرات الجبلية غرب المنطقة وجنوبها.

جدول (١٧) : فئات مؤشر كثافة الغطاء النباتي وأوزانها بمنطقة الدراسة.

الفئة	الحالة	الوصف	المؤشر	المساحة (كم²)	(%)
١	مرتفعة	أكبر من ٤٠٪	١	٣,١	٢,٠
٢	متوسطة	٣٠- ٤٠٪ من	١,٣٣	٤,٠	٢,٧
٣	منخفضة	١٠- ٣٠٪ من	١,٦٦	١٧,١	١١,٢
٤	منخفضة جداً	أقل من ١٠٪	٢	١٢٤	٨١,٣

المصدر: من إعداد الباحث اعتماداً على شكل (١٠).

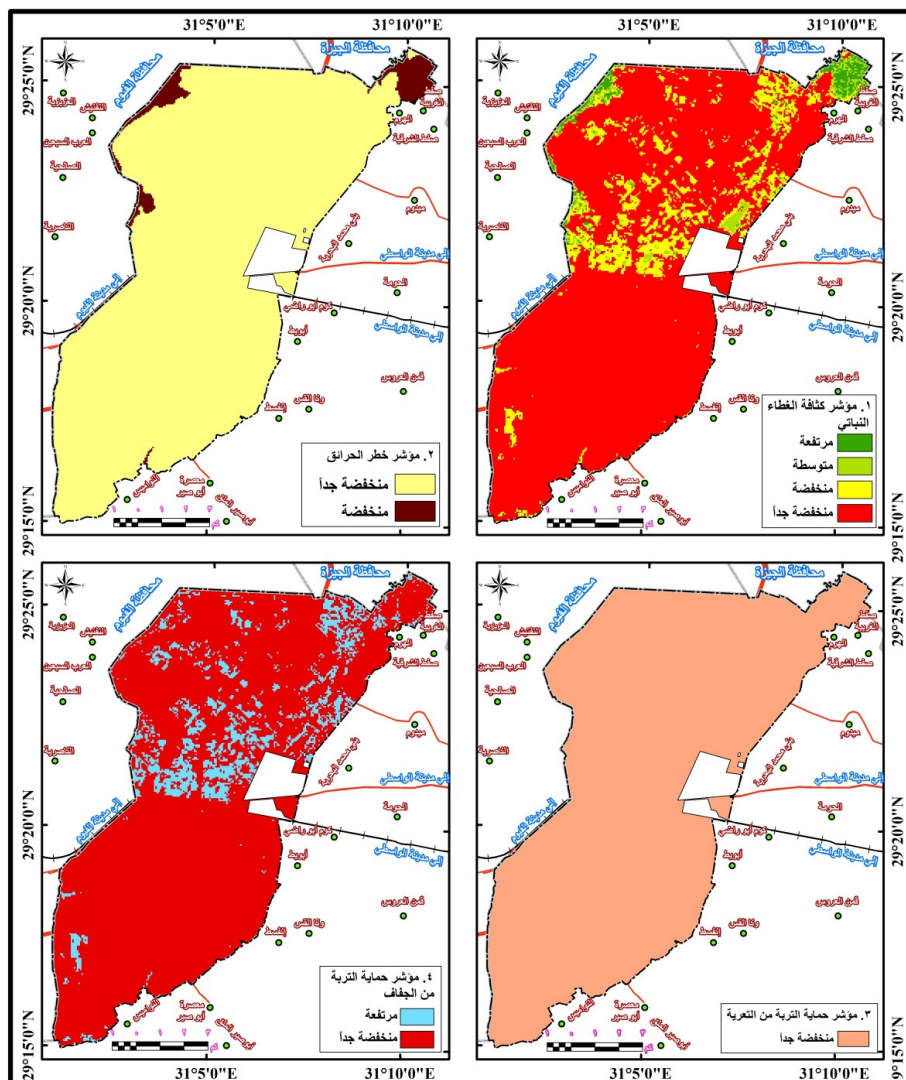
بـ- مؤشر خطر الحرائق:

تعد الحرائق جزءاً من عمليات النظام البيئي الطبيعي في العديد من مناطق العالم حيث يصبح الغطاء النباتي قابلاً للاشتعال خلال موسم الجفاف أو خلال السنوات الجافة في المناطق الرطبة. وتزداد احتمالية انتشار الحرائق في الأقاليم شبه الرطبة وشبه الجافة، غير أن هذه الاحتمالية تتحسن في الأقاليم الجافة التي تتميز بخطاء نباتي فقير يمثل إيكاساً للظروف المناخية السائدة بها. وتحتاج النظم البيئية فيما بينها في التكيف مع الحرائق من حيث كثافة الخطاء النباتي ومعدل تعرضها للحرائق، وبشكل عام فإن النظم التي لا تتعرض للحرائق باستمرار تعد نظم ذات حساسية للحرائق، حيث تعد عرضة للتدهور والتصحر بعد حدوث الحرائق (Vallejo and Valdecantos, 2008, p. 1). وترتبط معدلات خطر الحرائق ارتباطاً وثيقاً بكتافة الخطاء النباتي السائد إلى جانب الظروف المناخية، ويوضح الجدول (١٨) والشكل (١٠) فئات مؤشر خطر الحرائق بمنطقة الدراسة والذي يتضح منها أن ٩٣,٤٪ من مساحة المنطقة ذات مؤشر منخفض جداً للحرائق نظراً لانخفاض كثافة الخطاء النباتي به، في حين أن ٣,٨٪ من مساحة المنطقة ذات مؤشر منخفض للحرائق والذي يظهر في المناطق الزراعية شمال شرق وشمال غرب المنطقة.

جدول (١٨) : فئات مؤشر خطر الحرائق وأوزانها بمنطقة الدراسة.

الفئة	الحالة	الوصف	المؤشر	المساحة (كم²)	(%)
١	منخفضة جداً	الأرض الجرداء والمحاصيل الزراعية المعمرة والمحاصيل الزراعية السنوية (النرة والتبغ وعباد الشمس)	١	١٤٢,٤	٩٣,٤
٢	منخفضة	المحاصيل الزراعية السنوية (الحبوب، الأرضي العشبية)، البلوط النفضي، البحر الأبيض المتوسط المختلط، غابات الماكيا دائمة الخضرة	١,٣٣	٥,٨	٣,٨
٣	متوسطة	غابات Macchia البحر المتوسط	١,٦٦	-	-
٤	مرتفعة	غابات الصنوبر	٢	-	-

المصدر: من إعداد الباحث اعتماداً على شكل (١٠).



شكل (١٠) : مؤشرات جودة الغطاء النباتي بمنطقة الدراسة.

المصدر: من إعداد الباحث اعتماداً على: Landsat (8) OLI_TIRS والشكل (٣).

ج- مؤشر حماية التربة من التعرية:

تعكس عملية تعرية التربة وتآكلها الشكل العام لمدى صحة النظام البيئي وتوازنه، حيث تشكل عوامل التعرية الخارجية أحد الأسباب الرئيسية التي تعمل على تدهور حالة التربة وتصحرها. وبؤدي تعرض أنماط معينة من التربة إلى عوامل

التعرية خاصة التربات المفككة والجافة في البيئات الجافة، حيث يؤدي ذلك إلى فقدان التربة مكوناتها وانخفاض إنتاجيتها ومن ثم تدهورها وتصرّرها بعد ذلك. ويعتمد حجم تأكّل التربة وتعريتها على عمق قطاع التربة ونسيجها وخصائص التضاريس ودرجة انحدار السطح والظروف المناخية السائدة، فضلاً عن خصائص الغطاء النباتي السائد التي تمثل العامل المهم في نشاط عوامل التعرية الخارجية من عدمه. وبشكل عام يمكن القول أن تعرية التربة سواء بواسطة المياه أو الهواء في ظل قلة عمق قطاع التربة وانخفاض كثافة الغطاء النباتي يؤدي إلى تصرّرها (Hegazi, et al., 2009, p. 55). ويوضح الجدول (١٩) والشكل (١٠) فئات مؤشر حماية التربة من التعرية والذي يتضح منها أن منطقة الدراسة بالكامل تقع في نطاق الحماية المنخفضة جداً من تعرية التربة والتي تنتشر في بيئات المحاصيل الزراعية السنوية (الحبوب) والمراعي السنوية والكرום إلى جانب الأراضي الخالية من الغطاء النباتي (Kosmas, et al., 1999, p. 24).

جدول (١٩) : فئات مؤشر حماية التربة من التعرية وأوزانها بمنطقة الدراسة.

الفئة	الحالة	الوصف	المؤشر	المساحة (كم²)	(%)
١	مرتفعة جداً	غابات Macchia البحر المتوسط المختلطة والغابات دائمة الخضرة	١	-	-
٢	مرتفعة	غابات Macchia البحر المتوسط وغابات الصنوبر والمراعي الدائم والمحاصيل المعمرة دائمة الخضرة	١,٢	-	-
٣	متوسطة	الغابات النفضية	١,٤	-	-
٤	منخفضة	المحاصيل الزراعية المعمرة المتتساقطة (اللوز، النسبتين)	١,٧	-	-
٥	منخفضة جداً	المحاصيل الزراعية السنوية (الحبوب) والمراعي السنوية والكرום	٢	١٤٨,٢	٩٧,٢

المصدر: من إعداد الباحث اعتماداً على شكل (١٠).

د- مؤشر حماية التربة من الجفاف:

يمثل مؤشر حماية التربة من الجفاف نوعاً من التكامل بين نمط الغطاء النباتي السائد ونوع التربة وحالة المناخ، حيث يؤدي انخفاض كثافة الغطاء النباتي إلى رفع معدلات جفاف التربة وبالتالي تصرّحها. وتمثل الاستجابة الرئيسية للنباتات عند زيادة معدلات الجفاف في انخفاض مؤشر مساحة الأوراق والذي قد يكون مفيداً على المدى القصير لأنّه يقلّ من النتح، ولكن مثل هذا الجفاف سيزيد من احتمالية تأكل التربة عند سقوط المطر أو عند نشاط الرياح، حيث يتم تقليل الغطاء النباتي الواقي (Kosmas, et al., 1999, p. 25).

بينما يضطر السكان إلى زراعة بعض المحاصيل المقاومة للجفاف مثل الزيتون أو التين الشوكى (صورة ٩). ويوضح الجدول (٢٠) والشكل (١٠) فئات مؤشر حماية التربة من الجفاف والذي يتضح منه أن ١١,٢٪ من مساحة منطقة الدراسة ذات حماية مرتفعة من الجفاف والتي تتمثل في مزارع الزيتون بمناطق الاستصلاح الزراعي على جانبي طريق القاهرة أسيوط الصحراوي الغربي، بينما تغطي مناطق الحماية المنخفضة نحو ٨٦,٠٪ من مساحة المنطقة.

جدول (٢٠) : فئات مؤشر حماية التربة من الجفاف وأوزانها بمنطقة الدراسة.

الفئة	الحالة	الوصف	المؤشر	المساحة (كم²)	(%)
١	مرتفعة جداً	غابات Macchia البحر المتوسط المختلطة والغابات دائمة الخضراء وغابات Macchia البحر المتوسط	١	-	-
٢	مرتفعة	الصنوبريات والنفضية والزيتون	١,٢	١٧,١	١١,٢
٣	متوسطة	الأشجار الزراعية المعمرة (الكروم، اللوز، أوكراند)	١,٤	-	-
٤	منخفضة	المراعي المعمرة	١,٧	-	-
٥	منخفضة جداً	المحاصيل الزراعية السنوية، المراعي السنوية	٢	١٣١,١	٨٦,٠

المصدر: من إعداد الباحث اعتماداً على شكل (١٠).

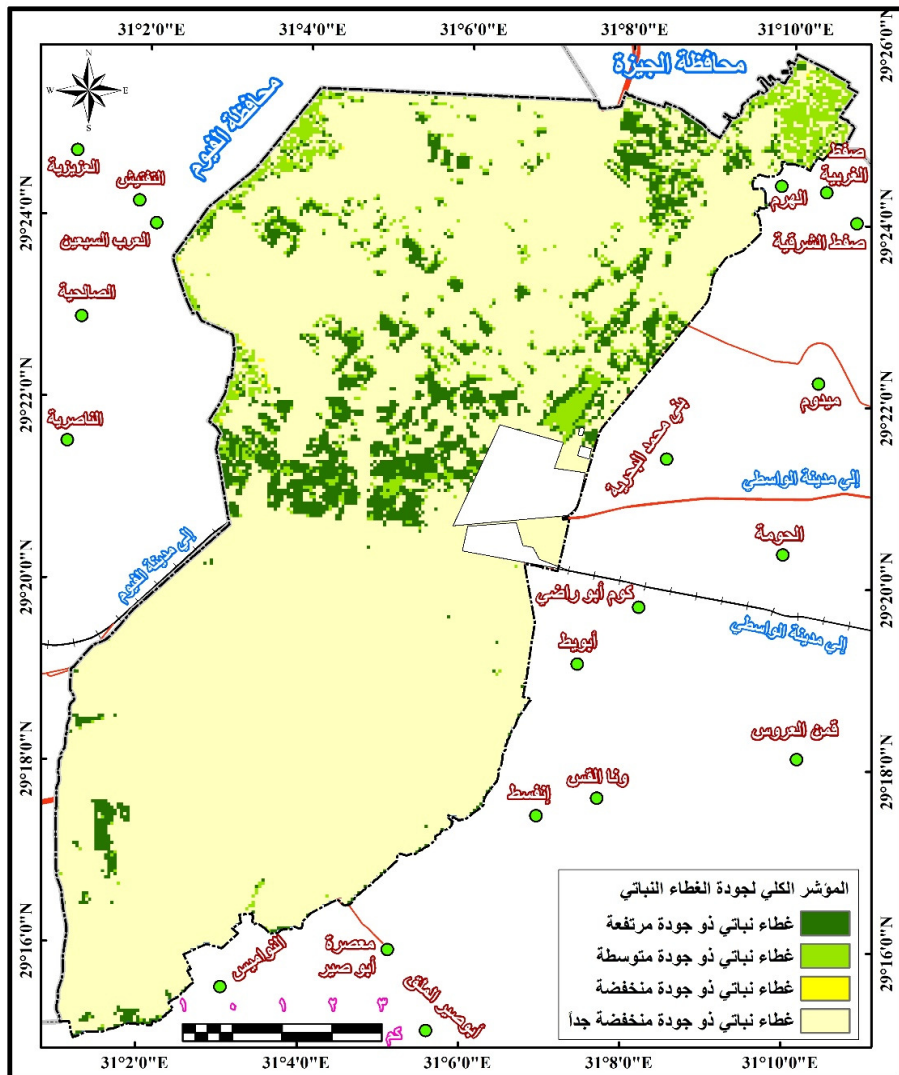
هـ- المؤشر الكلي لجودة الغطاء النباتي:

يمثل المؤشر الكلي لجودة الغطاء النباتي ناتج معادلة جودة الغطاء النباتي والتي تم من خلالها جبر خرائط المؤشرات الأربع سابقة الذكر في برمجيات نظم المعلومات الجغرافية للحصول على المؤشر الاجمالي لجودة الغطاء النباتي في منطقة الدراسة. ويوضح الجدول (٢١) والشكل (١١) المؤشر الاجمالي لجودة الغطاء النباتي بمنطقة الدراسة والذي يتضح منها أن ٨٣,٦٪ من الغطاء النباتي بمنطقة الدراسة ذات جودة منخفضة والتي يزيد فيها مؤشر جودة الغطاء النباتي على ١,٤، وهي الأجزاء ذات الغطاء النباتي منخفض الكثافة وذات حماية منخفضة من التعرية ومن الجفاف كذلك والذي يتمثل في مناطق السهول الصحراوية ومناطق التلال المرتفعة بمنطقة الدراسة، بينما تشكل المناطق ذات الغطاء النباتي متوسط الجودة والمرتفع نحو ١٣,٥٪ وتظهر في المناطق الزراعية ذات الغطاء النباتي المختلف والتي تتسم بغطاء نباتي يعمل على حماية التربة من الجفاف والتعرية ويقلل من معدلات البحر وقدان التربة رطوبتها (صورة ١٠).

جدول (٢١) : المؤشر الاجمالي لجودة الغطاء النباتي وأوزانه بمنطقة الدراسة.

الفئة	الحالة	المؤشر	المساحة (كم²)	(%)
١	جيدة	أقل من ١,٢	١٣,٣	٨,٧
٢	متوسطة	١,٢ - ١,٤	٧,٣	٤,٨
٣	منخفضة	١,٤ - ١,٦	٠,١	٠,١
٤	منخفضة جداً	١,٦ فأكثر	١٢٧,٥	٨٣,٦

المصدر: من إعداد الباحث اعتماداً على شكل (١١).



شكل (١١) : مؤشر جودة الغطاء النباتي الكلي بمنطقة الدراسة.

المصدر: من إعداد الباحث اعتماداً على الشكل (١٠).

(٣) مؤشر جودة المناخ:

تمثل الظروف المناخية عاملًا رئيسيًا من ضمن العوامل المسببة لحدوث الجفاف والتصرّر، فال المشكلتان تصنفان على أنهما مشكلات بيئية مرتبطة بالمناخ. ويتم تقييم جودة المناخ باستخدام العناصر التي تؤثر على توافر المياه للنباتات، مثل كمية

الأمطار ودرجة حرارة الهواء والجفاف. وتساعد الظروف الجوية التي تتميز بها المناطق الصحراوية بشكل كبير في حدوث التصحر وذلك بسبب ارتفاع معدلات حدوث البحر -نتح التي تفوق معدلات التساقط وبالتالي تسبب عجزاً في الميزان المائي ينتج عنه الجفاف والتتصحر، حيث أن تناقص كميات الأمطار المصحوبة بمعدلات عالية من التبخر يقلل بشكل كبير من محتوى رطوبة التربة المتاح لنمو النبات والذي يؤثر بدوره في انخفاض إنتاج الكتلة الحيوية مما يؤثر بشكل مباشر على محتوى المادة العضوية للتربة، وترافق واستقرار أفق السطح ضد التعرية. وعلى الناحية الأخرى فإن التساقط المطري يعمل على رفع معدلات تأكل التربة وتدهورها في المناطق الخالية من النبات مما يؤثر في جودتها. ويتم حساب مؤشر جودة المناخ وفق المعادلة الآتية:

$$CQI = (Ir * Ia * Is)^{1/3} \text{ (Hegazi, et al., 2009, p. 33)}$$

حيث أن CQI مؤشر جودة المناخ Climate Quality Index وأن Ir مؤشر التساقط (المطر) وأن Ia مؤشر الجفاف وأن Is مؤشر اتجاه الانحدار.

وفيما يلي عرض لمؤشرات جودة المناخ :

أ- مؤشر التساقط (المطر) :

يقيس مؤشر التساقط كمية المطر التي تلتلقها منطقة الدراسة والتي تؤثر في حدوث التصحر أو تدهور نوعية التربة، حيث يؤدي انحباس المطر لفترات طويلة إلى جفاف التربة في المناطق غير المروية بمنطقة الدراسة والتي تتمثل في السهول الصحراوية بما تضمه من مناطق استصلاح زراعي يتم ريها بالرش او بالتنقيط، حيث تتأثر هذه المناطق بقلة معدلات التساقط والتي يترب عليها جفاف التربة نتيجة ارتفاع معدلات التبخر منها بسبب ارتفاع درجة الحرارة ومن ثم تدهورها وتصحرها. وتتجدر الإشارة إلى أن منطقة الدراسة تمثل جزءاً من المناخ الصحراوي الجاف الذي يتسم بقلة المطر وأن أمطاره تسقط في فصل الشتاء وتقل في فصلي الخريف والربيع وتنتهي في فصل الصيف الجاف الحار. ونظراً للظروف المناخية للمنطقة فإن سقوط المطر يكون علي هيئة رحات غزيرة سريعة في وقت محدود مما قد يكون له أثر

سلبي في جرف التربة خاصة في المناطق ذات الانحدارات الشديدة في نطاق التلال الجبلية بالمنطقة. ويوضح الجدول (٢٢) والشكل (١٢) فئات مؤشر التساقط بمنطقة الدراسة والذي يتضح منها وقوع منطقة الدراسة بالكامل في الفئة قليلة المطر والتي يقل متوسطها السنوي من المطر عن ٢٨٠ مم وبالتالي فهي ذات حساسية بيئية مرتفعة للتصحر وفق هذا المؤشر.

جدول (٢٢) : فئات مؤشر التساقط (المطر) وأوزانها بمنطقة الدراسة.

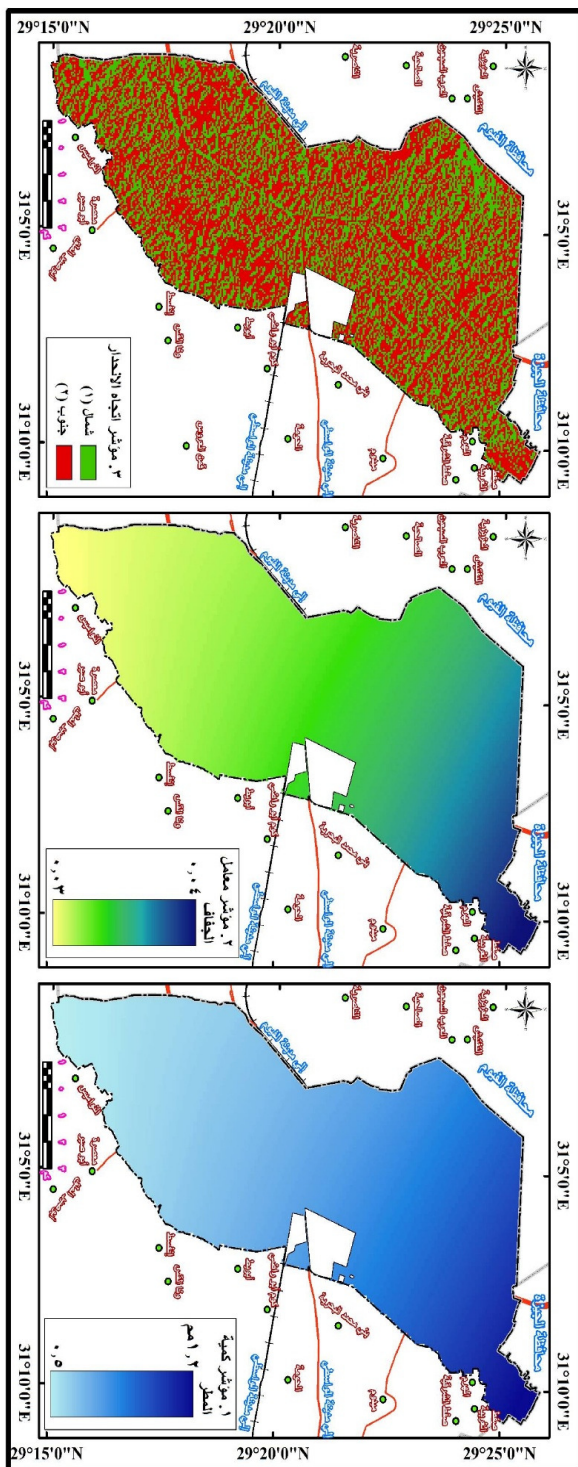
(%)	المساحة (كم²)	المؤشر	الوصف	الحالة	الفئة
-	-	١	أكثر من ٦٥٠ مم/سنة	مطر	١
-	-	١,٥	من ٦٥٠ - ٢٨٠ مم/سنة	متوسط المطر	٢
٩٧,٢	١٤٨,٢	٢	أقل من ٢٨٠ مم/سنة	قليل المطر	٣

المصدر: من إعداد الباحث اعتماداً على شكل (١٢).

ب- مؤشر الجفاف:

يعكس مؤشر الجفاف العلاقة بين درجة الحرارة ومعدلات التساقط وأثر ذلك في معدلات التصحر بالمنطقة، فهو مؤشر لمتوسط المياه المتاحة في التربة، يعرف بأنه النسبة بين متوسط تساقط الأمطار السنوي ومتوسط التبخر النتح السنوي، حيث يعد عاملًّا بيئياً حاسماً يؤثر على تطور الغطاء النباتي وبالتالي التعرية المطالية من خلال مراعاة سقوط الأمطار ودرجة حرارة الهواء^(١). وقد تم الاعتماد على مؤشر ديمارتون De Martonne لحساب مؤشر الجفاف وذلك لسهولة حسابه وتوفير بياناته. ويوضح الجدول (٢٣) والشكل (١٢) فئات مؤشر الجفاف بمنطقة الدراسة والذي يتضح منها وقوع المنطقة بالكامل في نطاق المناخ الجاف الذي تقل فيه قيمة المؤشر عن ٥ وبالتالي فالمنطقة ذات حساسية بيئية مرتفعة للتصحر وفق هذا المؤشر.

(1) aridity_index_(1) (europa.eu)



شكل (١٢) : مؤشرات جودة المناخ بمنطقة الدراسة.

المصدر: من إعداد الباحث اعتناداً على جدول (٨) وشكل (١٠) وشكل (٣).

جدول (٢٣) : فئات مؤشر الجفاف وأوزانها بمنطقة الدراسة.

الفئة	الحالة	الوصف	المؤشر	المساحة (كم²)	(%)
١	شديد الرطوبة	٣٠ فأكثر	١	-	-
٢	رطب	٣٠ - أقل من ٢٠	١,٤	-	-
٣	رطب نوعاً ما	٢٠ - أقل من ١٠	١,٦	-	-
٤	شبه جاف	١٠ - أقل من ٥	١,٨	-	-
٥	جاف	أقل من ٥	٢	١٤٨,٢	٩٧,٢

المصدر: من إعداد الباحث اعتماداً على شكل (١٢).

ج- مؤشر اتجاه الانحدار:

يقيس هذا المؤشر اتجاهات انحدار الأسطح في منطقة الدراسة، حيث يؤثر اتجاه المنحدر في زاوية ومدة سقوط الأشعة الشمسية على المنحدرات، حيث تصبح المنحدرات ذات الاتجاه الجنوبي والغربي أكثر دفناً ولها معدلات حرارة وتبخر أعلى وقدرة تخزين مياه أقل ومحتوي أقل من المادة العضوية من المنحدرات التي تتجه نحوية الشمال والشرق (Kosmas, et al., 1999, p. 22)، وبالتالي فإن الغطاء النباتي على المنحدرات الجنوبية أقل جودة وكثافة من الغطاء النباتي على المنحدرات الشمالية. ويؤثر التباين في اتجاهات الانحدار على توزيع الطاقة ومياه المطر والمغذيات النباتية والغطاء النباتي وذلك من خلال التأثير في مدى تعرض التربة للرياح وسقوط المطر، إلى جانب ظروف الصرف الطبيعي والجريان السطحي والتعرية وإزالة الرواسب بفعل الرياح. وقد أظهرت القياسات في منطقة البحر المتوسط أن معدلات نحت التربة على المنحدرات المتوجهة نحوية الجنوب الشرقي والجنوب الغربي أعلى من معدلاتها على المنحدرات التي تتجه نحوية الشمال الشرقي والشمال الغربي. ويوضح الجدول (٢٤) والشكل (١٢) فئات مؤشر اتجاه الانحدار بمنطقة الدراسة والذي يتضح منها أن ٤١,٢٪ من مساحة المنطقة ذات اتجاهات شمالية وشمالية شرقية وشمالية غربية وشرقية، وهي اتجاهات ذات حساسية بيئية أقل تجاه التصحر، في حين أن ٥٦,٠٪ من جملة مساحة المنطقة ذات اتجاهات جنوبية وجنوبية شرقية وجنوبية غربية وغربية ومستوية وهي اتجاهات ذات حساسية بيئية عالية للتتصحر.

جدول (٢٤) : فئات مؤشر اتجاه الانحدار وأوزانها بمنطقة الدراسة.

(%)	المساحة (كم²)	المؤشر	الوصف	الحالة	الفئة
٤١,٢	٦٢,٨	١	شمال - شمال شرق - شمال غرب - شرق	شمال	١
٥٦,٠	٨٥,٤	٢	جنوب - جنوب شرق - جنوب غرب - غرب - مستوى	جنوب	٢

المصدر: من إعداد الباحث اعتماداً على شكل (١٢).

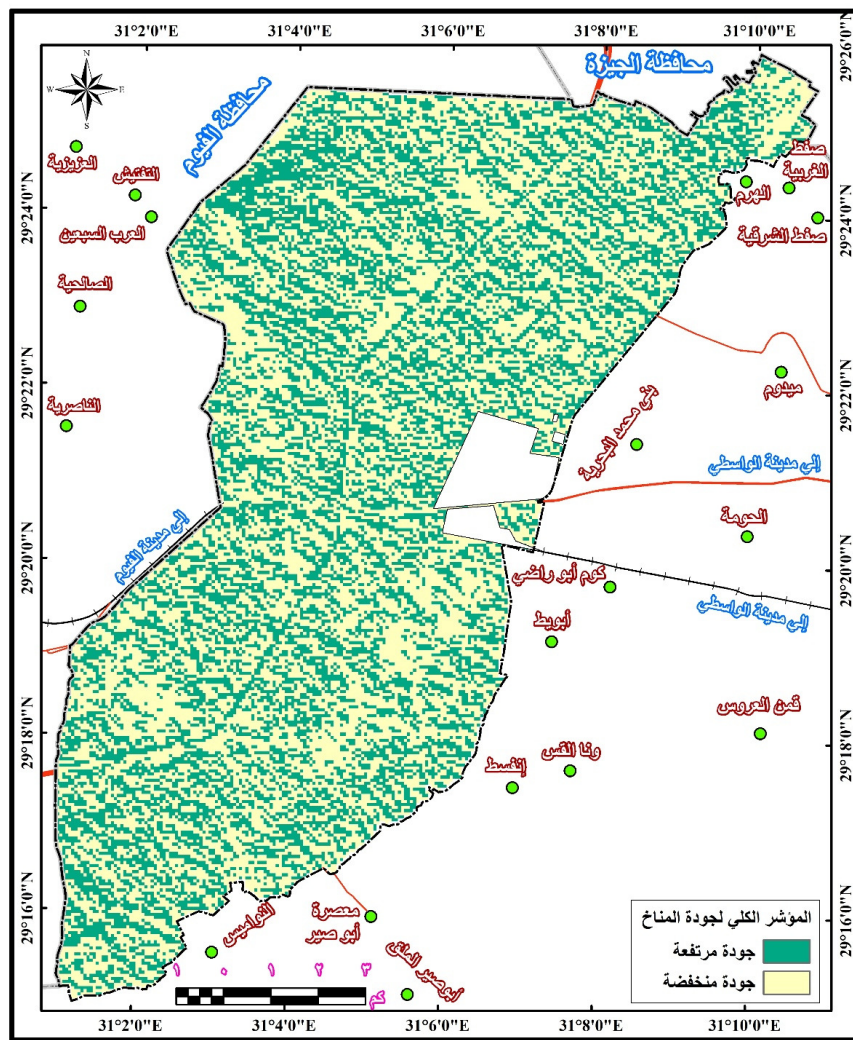
د- المؤشر الكلي لجودة المناخ:

يتمثل المؤشر الكلي لجودة المناخ ناتج معادلة جودة المناخ والتي تم من خلالها جبر خرائط المؤشرات الثلاثة سابقة الذكر في برامجيات نظم المعلومات الجغرافية للحصول على المؤشر الاجمالي لجودة المناخ في منطقة الدراسة. ويوضح الجدول (٢٥) والشكل (١٣) المؤشر الاجمالي لجودة المناخ بمنطقة الدراسة والذي يتضح منها أن ٥٧,٥% من مساحة المنطقة ذات جودة مناخية منخفضة، حيث تمثل هذه الفئة المناطق ذات الاتجاهات الجنوبيّة والغربية والمستوية في ظل انخفاض جودة مؤشر التساقط ومؤشر الجفاف، في حين تشكل المناطق ذات جودة المناخ المرتفعة نحو ٣٩,٧% من مساحة المنطقة وتتمثل في المناطق ذات الاتجاهات الشماليّة والشرقيّة.

جدول (٢٥) : المؤشر الاجمالي لجودة المناخ وأوزانه بمنطقة الدراسة.

(%)	المساحة (كم²)	المؤشر	الحالة	الفئة
٣٩,٧	٦٠,٥	أقل من ١,١٥	جيدة	١
-	-	من ١,١٥ - ١,٨١	متوسطة	٢
٥٧,٥	٨٧,٧	فأكثر ١,٨١	منخفضة	٣

المصدر: من إعداد الباحث اعتماداً على شكل (١٣).



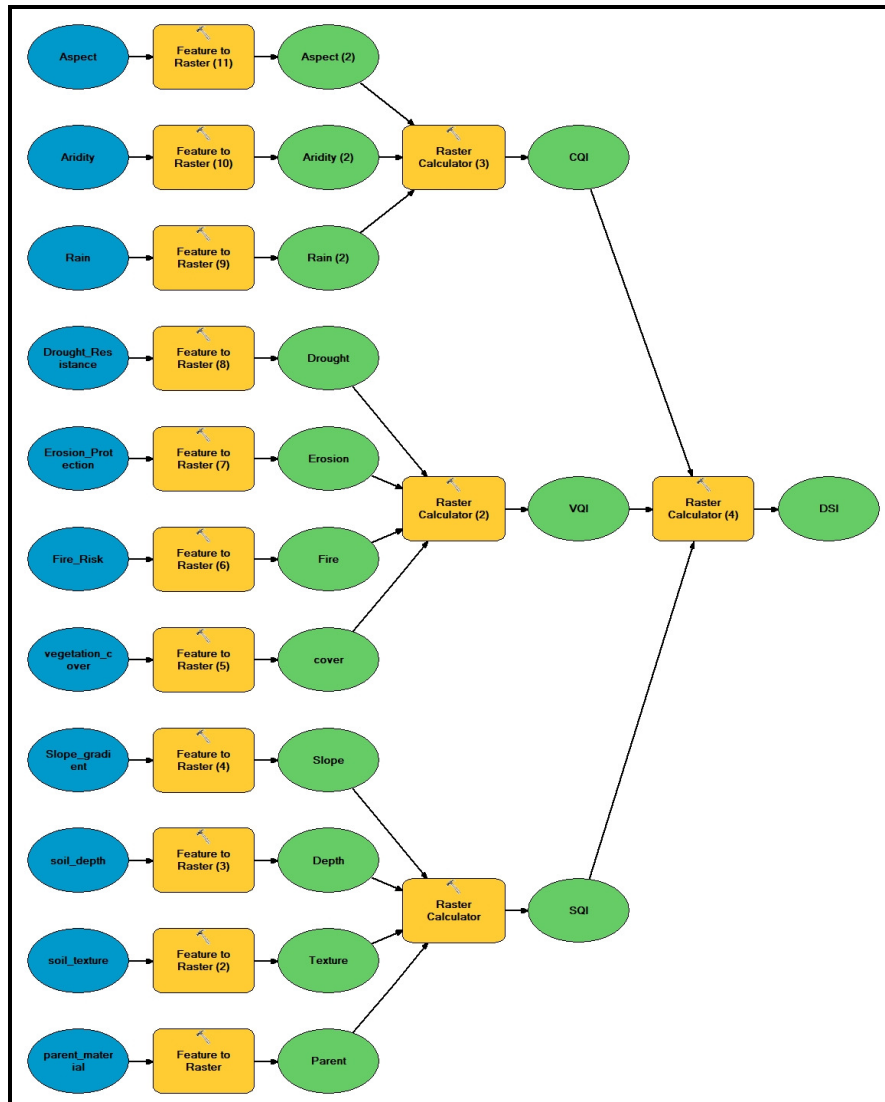
شكل (١٣) : مؤشر جودة المناخ الكلى بمنطقة الدراسة.

المصدر: من إعداد الباحث اعتماداً على الشكل (١٢).

٤) مؤشر الحساسية البيئية للتصحر:

يقيس هذا المؤشر الحساسية البيئية للتصرّف بمنطقة الدراسة من خلال تحديد المناطق الحساسة بيئياً للتصرّف Environmental Sensitivity Area (ESA's) وذلك بحسب مؤشر حساسية التصرّف Desertification Sensitivity Index (DSI) وفق المعادلة التي سبق ذكرها لهذا المؤشر. وقد تم الاعتماد على برامجيات نظم المعلومات الجغرافية في حساب هذا المؤشر

والتي من خلالها تم حبر الطبقات مع بعضها البعض وذلك بعد تحديد أوزانها النسبية وفق المعادلة الرئيسية ووفق المعادلات الفرعية لباقي المؤشرات، حيث تم بناء نموذج لحساب هذا المؤشر (شكل ١٤)، يمكن استخدامه فيما بعد وتطبيقه على أي منطقة بعد إدخال مدخلاته للحصول على نتائج توضح مؤشر الحساسية البيئية للتصرّر.



شكل (١٤) : نموذج تقييم الحساسية البيئية للتصرّر باستخدام برنامج Arc GIS 10.8.

المصدر: من إعداد الباحث اعتماداً على برنامج Arc GIS 10.8.

ويوضح الجدول (٢٦) والشكل (١٥) فئات الحساسية البيئية للتصرّر بمنطقة الدراسة والذى يتضح منها ما يلى :

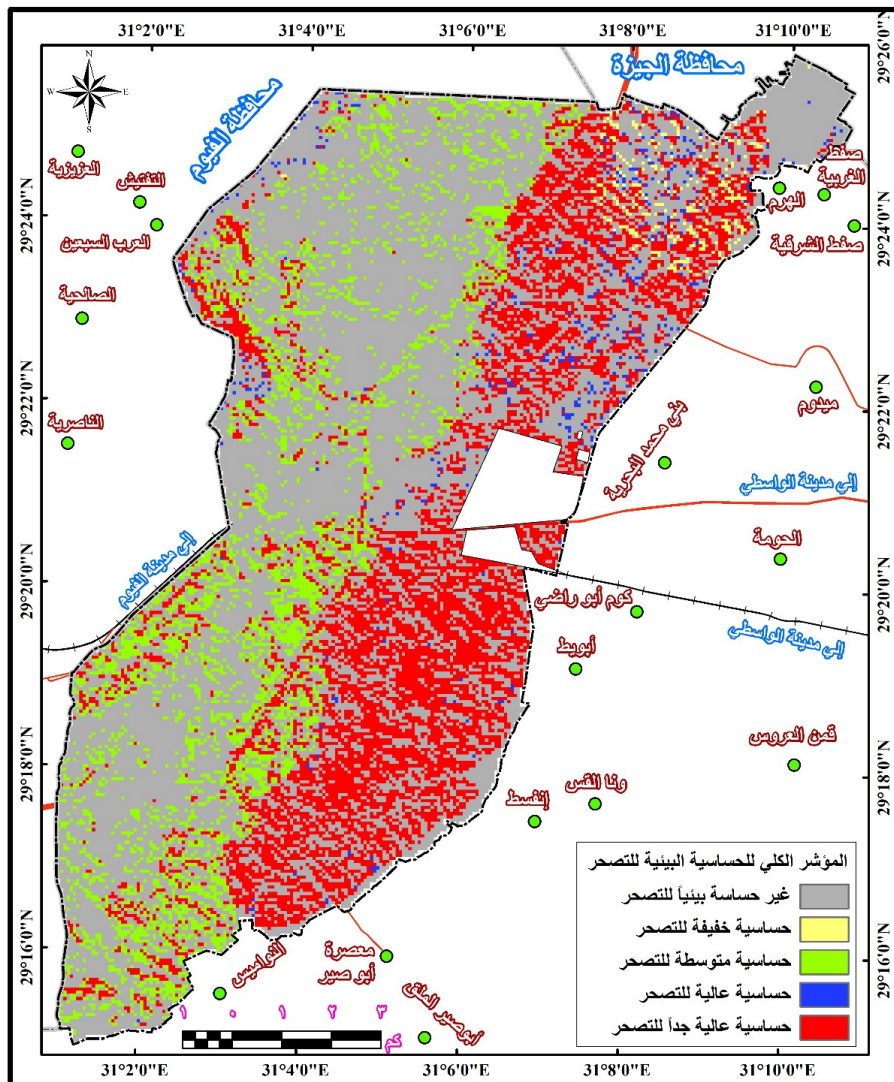
جدول (٢٦) : فئات مؤشر الحساسية البيئية للتصرّر وأوزانه بمنطقة الدراسة.

الفئة	المؤشر	وصف الحساسية	المساحة (كم²)	(%)
١	أقل من ١,٢	غير حساسة بيئياً للتصرّر	٩٠,٥	٥٩,٤
٢	١,٣ - ١,٢	حساسية خفيفة للتصرّر	٢,٥	١,٦
٣	١,٤ - ١,٣	حساسية متوسطة للتصرّر	١٦,٦	١٠,٩
٤	١,٦ - ١,٤	حساسية عالية للتصرّر	٢,٨	١,٨
٥	١,٦ فأكثـر	حساسية عالية جداً للتصرّر	٣٥,٨	٢٣,٥
الإجمالي				٩٧,٢

المصدر: من إعداد الباحث اعتماداً على شكل (١٥).

- تغطي المناطق غير المتأثرة بالتصحر وهي المناطق التي يقل فيها مؤشر الحساسية للتصرّر عن ١,٢ حوالي ٥٩,٤ % من مساحة منطقة الدراسة. وهذه المناطق التي تكون فيها العوامل الحرجة منخفضة جداً أو غير موجودة، مع توافر جيد بين العوامل البيئية المختلفة. وتظهر هذه المناطق في نطاق السهول الصحراوية غرب طريق القاهرة أسيوط الصحراوي الغربي وفي المناطق الزراعية بنطاق السهل الفيضي وهوامش منخفض الفيوم.

- تشكل المناطق قليلة التأثر بالتصحر، وهي المناطق التي يتراوح فيها مؤشر التصرّر بين ١,٣-١,٢ حوالي ١١,٦ % من مساحة المنطقة. وهي المناطق المهددة بالتصحر في ظل تغير مناخي كبير، إذا تم تنفيذ مزيج معين من استخدام الأرضي أو حيث ستؤدي التأثيرات الخارجية إلى مشاكل خطيرة. وقد يشمل ذلك أيضاً الأرضي المهجورة التي لا تدار بشكل صحيح. وتظهر هذه الأرضي في الجزء الشمالي الشرقي من المنطقة في نطاق توزيع التربة الطينية الجبسية.



شكل (١٥) : الحساسية البيئية للتصرّف بمنطقة الدراسة.

المصدر: من إعداد الباحث اعتماداً على شكل (٩) وشكل (١١) وشكل (١٣).

- تستحوذ المناطق متوسطة التأثير بالتصرّف، وهي المناطق التي يتراوح فيها مؤشر التصرّف بين ١,٤-١,٣ على حوالي ١٠,٩ % من مساحة المنطقة. وهي المناطق التي يحتمل أن يؤدي فيها أي تغيير في التوازن الدقيق بين النشاط الطبيعي والبشري إلى التصرّف. وتظهر هذه الأراضي بوضوح غرب طريق القاهرة أسيوط

الصحراوي الغربي في مناطق الاستصلاح الزراعي غرب الطريق وعلى الهاوامش الشرقية لمنخفض الفيوم. كذلك تظهر هذه الأراضي في مناطق الاستصلاح القديم غرب قرية ميدوم (صورة ١١).

- تبلغ مساحة المناطق المتأثرة بالتصحر، وهي المناطق التي تتراوح فيها قيمة مؤشر التصحر بين ١,٤-١,٦ حوالي ١١,٨٪ من مساحة المنطقة. وهي المناطق التي تدهورت بالفعل بشكل كبير من خلال سوء الاستخدام في الماضي، مما يشكل تهديداً لبيئة المناطق المحيطة أو مع عمليات تصحر واضحة. رتّبّهُ هذه الأراضي في قطاعين الأول شرق طريق القاهرة أسيوط الصحراوي الغربي في نطاق أراضي الاستصلاح الزراعي فيما بين طريق ميدوم وطريق الواسطي حيث يلاحظ من خلال الدراسة الميدانية انخفاض القدرة الانتاجية للترابة على الابات في هذا القطاع نتيجة ارتفاع نسبة الملوحة ومستوى الماء الباطني الواضح، أما النطاق الثاني فيظهر في مناطق الاستصلاح الزراعي شرق منخفض الفيوم ويلاحظ من الدراسة الميدانية تأثير هذا الجزء بشكل كبير بارتفاع مستوى الماء الباطني.

- تشكّل المناطق شديدة التأثير بالتصحر، وهي المناطق التي يزيد فيها مؤشر التصحر على ٢٣,٥٪ حوالي ١,٦ من مساحة المنطقة. وهي المناطق التي تدهورت بشكل كبير جداً يعيق إمكانية استعادتها. وتنظرّ هذه الأراضي في نطاق الاستصلاح الزراعي شرق طريق القاهرة أسيوط الزراعي، حيث مادة الأصل من الرواسب الرديئة الهشة ونسيج التربة الخشن وقطاع التربة متوسط العمق والانحدار المتوسط وكثافة الغطاء النباتي المنخفضة ومؤشر الحماية من التعرية والجفاف المنخفض، حيث يضطر السكان إلى نقل تربة تحتوي على بقايا النباتات لرفع معدلات خصوبتها (صورة ١٢).

النتائج والتوصيات:

يتضح من خلال العرض السابق ما يلي :

- تقع منطقة الدراسة في الظهير الصحراوي الشمالي الغربي لمحافظة بنى سويف، حيث يتّألف سطحها من الرواسب الحصوية والرملية والطفل والطين بنسبة ٣٤,٦٪، وهي أجزاء ذات حساسية بيئية عالية للتصحر، بينما يتّشكّل ٦٥,٤٪ مساحتها من الصخور الجيرية والرملية وهي ذات حساسية بيئية منخفضة للتصحر.

- يتراوح منسوب سطح المنطقة الدراسة بين ٥ م كأدنى منسوب وبين ١٩ م كأعلى منسوب بمدى تضاريسى بلغ ١٤ م، كما أن ٧٩,٨ % من مساحتها ذات انحدارات هينة وبسيطة وهي مناطق منخفضة الحساسية للتصحر وأن ٣,٠ % من مساحتها ذات انحدارات شديدة وشديدة جداً وهي مناطق ذات حساسية بيئية عالية للتصحر. كذلك يتوجه نحو ٤١,٢ % من مساحتها ناحية الشمال وهي مناطق منخفضة الحساسية للتصحر بينما يتوجه ٥٦,٠ % من مساحتها ناحية الجنوب وهي مناطق ذات حساسية مرتفعة للتصحر.
- يتسم مناخ المنطقة بارتفاع درجة الحرارة التي بلغ متوسطها ٢١,٦ ° درجة وارتفاع معدلات التبخر والتي بلغ متوسطها ٨,٠ م وانخفاض كمية المطر والتي بلغ متوسطها ١,٣ م، كما تقع المنطقة في نطاق المناخ الجاف حسب مؤشر ديمارتون للجفاف.
- تتتألف المنطقة من أنماط مختلفة من التربة حيث تغطي التربة الطينية ١,٥ % من مساحتها بينما تغطي التربة الرملية ٢,٤ % من مساحتها وتغطي تربة الترسيبات الحديثة حوالي ٣٥,٧ % من مساحتها وتشكل التربة الطينية الجبسية نحو ٦,٢ % من مساحتها وتغطي الأراضي الصخرية نحو ٥٤,٢ % من مساحتها وكل نمط من هذه الأنماط درجة معينة من الحساسية تجاه مؤشرات الحساسية المختلفة.
- يشير مؤشر جودة التربة بالمنطقة إلى أن ١٢,١ % من مساحتها ذات جودة منخفضة والتي تمتد شرق منطقة الدراسة، في حين أن ٤٨,٨ % من مساحتها ذات جودة جيدة وتنظهر في الجزء الغربي من منطقة الدراسة، في حين تغطي المناطق ذات الجودة المتوسطة ٣٦,٣ % من مساحة المنطقة.
- يتضح من مؤشر جودة الغطاء النباتي بالمنطقة أن ٨٣,٦ % من الغطاء النباتي بها الدراسة ذو جودة منخفضة جداً والذي يتمثل في مناطق السهول الصحراوية ومناطق التلال المرتفعة، وأن ٨,٧ % من مساحتها ذات غطاء نباتي جيد وأن ٤,٨ % من مساحتها ذات غطاء نباتي متوسط الجودة، في حين تشكل المناطق منخفضة الجودة نحو ٠,١ % من مساحتها.
- يُظهر مؤشر جودة المناخ أن ٥٧,٥ % من مساحة المنطقة ذات جودة مناخية منخفضة، في حين تشكل المناطق ذات جودة المناخ المرتفعة نحو ٣٩,٧ % من مساحة المنطقة وتمثل في المناطق ذات الاتجاهات الشمالية والشرقية في ظل انخفاض مؤشر التساقط والجفاف بالمنطقة.

- يوضح المؤشر الإجمالي للحساسية البيئية للتصرُّف بمنطقة الدراسة أن ٥٩,٤٪ من مساحة المنطقة غير حساسة بيئياً للتصرُّف، في حين أن ٢٣,٥٪ من مساحتها ذو حساسية عالية جداً للتصرُّف وأن ١٤,٣٪ من مساحتها تتراوح حساسيتها البيئية بين الخفيفة إلى العالية.

ومن خلال ما سبق توصي الدراسة بالآتي:

- زراعة المحاصيل المقاومة للجفاف خاصة في المناطق ذات الحساسية البيئية العالية للتصرُّف.
- ضرورة مراعاة تطبيق الوسائل العلمية الحديثة في عمليات استصلاح الأراضي الزراعية في المنطقة المحصورة بين طريق الواسطي وطريق أبوصير لضمان خفض معدلات الحساسية البيئية للتصرُّف.
- وقف عمليات الاستصلاح غير المخطط على امتداد طريق الواسطي وميدوم وهوامش منخفض القيوم جنوب غرب المنطقة والتي يتربَّ عليها تدهور التربة وتصحرها.
- استخدام الأسمدة الزراعية التي تعمل على رفع قدرة الأرضي المستصلحة الانتاجية والحفاظ عليها من التدهور.
- استخدام تربة منقوله جيدة الفرز خالية من المفتتات الصخرية التي تعوق عمليات الابنات وترفع حساسية التربة للتصرُّف.
- ضرورة الاهتمام بعمليات الصرف الزراعي في المنطقة وذلك للحد من معدلات ارتفاع منسوب الماء الأرضي التي تساهم في تملح التربة وتصحرها.
- ضبط عمل مطة صرف الواسطي التي تقع داخل المنطقة ويترتب على عملها تسرب المياه نحو التربة السطحية وطبقات تحت السطح مما يعمل على تدهور التربة.
- تشجير المناطق التي تعاني من ارتفاع معدلات الحساسية البيئية للتصرُّف لرفع درجة مقاومتها لعوامل التصرُّف المختلفة.
- تنظيم دروات تدريبة لأصحاب المزارع بمنطقة الدراسة تهدف إلى تدريبهم على كيفية الحفاظ على خصائص التربة والحد من معدلات تصحرها.

ملحق الصور الفوتوغرافية



صورة (٢) : التربة الرملية الكوارتزية شمال منطقة الدراسة على جانب طريق القاهرة أسيوط.



صورة (١) : تربة هوامش السهل الفيضي.



صورة (٤) : انتشار الأحجار والمفتتات الصخرية في التربة المنقوله غرب قرية الهرم.



صورة (٣) : تربة الترسيبات الحديثة.



صورة (٦) : معدلات تصحر مرتفعة بطريق ميدوم.



صورة (٥) : تربة ذات نسيج رملي شمال غرب المنطقة.



صورة (٨) : غطاء نباتي متوسط إلى قليل الكثافة عند بداية طريق الواسطي.



صورة (٧) : زراعة القمح في تربة جيدة الاستصلاح بطريق ميدوم.



صورة (١٠) : زراعة الشعير بمنطقة هوامش منخفض الفيوم جنوب شرق منطقة الدراسة.



صورة (٩) : زراعة نبات التين الشوكي المقاوم للجفاف بطريق ميدوم.



صورة (١٢) : تربة منقوله ببقايا النباتات لرفع درجة جدارتها الإنتاجية.



صورة (١١) : عمليات الاستصلاح الزراعي بالجهود الذاتية غرب قرية ميدوم.

المراجع

أولاً - المراجع باللغة العربية:

١. أسماء نعمت الله عبد الشافي الشرباصي (٢٠١٩): إدارة الأراضي الزراعية وعلاقتها بالجدرة الانتاجية للترابة في مراكز محافظة الدقهلية غرب فرع دمياط، دراسة في الجغرافية الاقتصادية باستخدام الجيومعلوماتية، رسالة دكتوراه غير منشورة، كلية الآداب - جامعة المنصورة.
٢. سيدة سيد رسلان سلامة (٢٠١٤): الامكانات الجغرافية لخطيط المنطقة الصحراوية بين محافظتي الفيوم وبني سويف، دراسة في جغرافية الخطيط، رسالة ماجستير غير منشورة، كلية الآداب - جامعة بنى سويف.
٣. شربات بشندي عطيه عوض (٢٠١٨): مشكلات التربة في منخفض الخارج، دراسة جغرافية باستخدام الاستشعار عن بعد ونظم المعلومات الجغرافية، رسالة دكتوراه غير منشورة، كلية الآداب - جامعة القاهرة.
٤. عبد القادر عبد العزيز علي (١٩٩٧): الأخطار البيئية - التحديات والأمل، طنطا.
٥. محمد صبري محسوب ومحمد إبراهيم أرباب (١٩٩٨): الأخطار والكوارث الطبيعية - الحدث والمواجهة، معالجة جغرافية، دار الفكر العربي، القاهرة.
٦. محمود إبراهيم دسوقي بغدادي (٢٠١٢): تطبيقات نظم المعلومات الجغرافية والاستشعار عن بعد في التقييم الجيويبي لدعم التنمية المستدامة بمنخفض البحات البحرية، رسالة دكتوراه غير منشورة، كلية الآداب - جامعة المنصورة.
٧. محمود إبراهيم دسوقي بغدادي (٢٠١٨): التحليل المكاني للحساسية البيئية لإقليم بحيرة قارون شمال منخفض الفيوم بمصر، باستخدام نظم المعلومات الجغرافية والاستشعار عن بعد، المجلة الجغرافية لنظم المعلومات الجغرافية، جامعة الملك سعود والجمعية الجغرافية السعودية، مج ١١، ع ٢.
٨. منصور إبراهيم خليفة العامر (٢٠١٩): التصحر بواحة الإحساء، باستخدام تقنيات الاستشعار عن بعد ونظم المعلومات الجغرافية، رسالة ماجستير غير منشورة، كلية الآداب - جامعة الملك فيصل.

٩. نجيب فهمي سعيد (٢٠٠١): نهر النيل (نشأته واستخدام مياهه في الماضي والمستقبل)، الطبعة الثانية، دار الهلال، القاهرة.

١٠. نرمين تنعي زهير حنا الله (٢٠١٠): المشكلات البيئية في محافظة بنى سويف، دراسة في الجغرافيا التطبيقية، رسالة ماجستير غير منشورة، كلية التربية - جامعة عين شمس.

ثانياً - المراجع باللغة غير العربية:

1. Abd El-Baky, A.A. (1972): Hydro geological conditions and paleohydro-geological reconstruction of Faiyum and Wadi El-Raiyan, unpublished M. Sc. thesis, geology dept. fac. sci. Cairo univ.
2. Ali, R. and El-Baroudy, A. (2006): Use of GIS in Mapping the Environmental Sensitivity to Desertification in Wadi El Natrun Depression, Egypt, Australian Journal of Basic and Applied Sciences.
3. Attiah, M.I. (1949): Geological survey of Wadi El-Raiyan depression for its utilization as a flood escape or reservoir. Report, ministry of public works.
4. Chen, J.M., et al. (1997): Leaf area index measurements, Journal of Geophysical Research Atmospheres, Vol. 102, No. D24, December 26.
5. Faiad, B.J. (2000): "Hydrogeological and Geophysical Assessment of the groundwater, Surface water and Soil resources for the Reclamation Activities in the area between Beni Suef and El-Fayium, West of the Nile Valley, Egypt". Ph.D thesis, Fac of Sc, Ain Shams Univ.
6. Farajzadeh, M. and Egbal, M.N. (2007): Evaluation of MEDALUS Model for Desertification Hazard Zonation Using GIS; Study Area: Iyzad Khast Plain, Iran, Pakistan Journal of Biological Sciences.
7. Gad, A.A., and Lotfy, I. (2006): Use of Remote Sensing and GIS in Mapping the Environmental Sensitivity Areas for Desertification of Egyptian territory, The 2nd International Conf. on Water Resources & Arid Environment.
8. Gad, A.A. (2008): Assessment and Mapping of Desertification Sensitivity in Some of the Western Desert Oases, Egypt, Based on Remote Sensing and GIS, The 3rd International Conference on Water Resources and Arid Environments (2008) and the 1st Arab Water Forum.
9. Hegazi, A.M. et al. (2009): Assessment and Mapping of Desertification Sensitivity in the Northwestern Coastal Zone, Egypt, Egyptian J. Desert Res, Volume 59 Special Edition.
10. Kosmas, C., Kirkby, M. and Geeson, N. (1999): Key indicators of desertification and mapping environmentally sensitive areas to

- desertification. European Commission, Energy, Environment and Sustainable Development, EUR 18882, 87.
11. Mohamed, E.M. (1997): "Geophysical study on the area between latitudes 25° - 29° and longitudes 31° - 33° 30' E, Eastern Desert of Egypt". Ph.D thesis, Fac of Sc, Ain Shams Univ.
 12. Shaehata, M. Ab-Elfattaah (1986): Geological and Hydrological Studies on Southern part of El-Giza Governorate, El-Saff Area, Ph.D. Thesis, Fac. of Science, Zagazig University.
 13. Sobhy, A.M. (1996): "Hydrogeophysical – Hydrogeological for the nile valley tract stretched between Beni Suef and El-Saff, Egypt" Ph.D. Thesis, Fac. of Sci. Ain Shams Univ.
 14. Soil Survey Staff (1999): Soil Taxonomy A Basic System of Soil Classification for Making and Interpreting Soil Survey, United States Department of Agriculture, Natural Resources Conservation Service Agriculture Handbook, Number 436, U.S. Government printing Office, Washington, USA.
 15. Tamer, M.A. (1986): Subsurface geology of the Faiyum region. Unpublished M. Sc. thesis, geology dept. fac. sci. Tanta univ.
 16. Vallejo, R. and Valdecantos, A. (2008): Desertification Processes: Fire, In book: Land Care in Desertification Affected Areas. From Science towards Application, Chapter: Booklet B2. Fire, Editors: Universidade Nova de Lisboa.

Environmental Sensitivity to Desertification in Northwest Beni Suef Governorate Using MEDALUS Model

Dr. Hany Rabie Nady Mohamed

Lecturer of Environmental Geography and GIS & RS,
Faculty of Arts - Beni Suef University

ABSTRACT

The European Union has supported a project to estimate the extent of desertification in the European Mediterranean region under the title European Union-Mediterranean Environmentns Desertification and Land Use project (EU-MEDALUS). This model classifies lands according to their degree of environmental sensitivity to desertification by measuring a set of elements that contribute to it. By applying this model to the northwestern region of Beni Suef Governorate, which represents a desert backwater for the governorate that separates it from Fayoum Governorate, it became clear that about 12.1% of the area of the region has a low soil quality index and 48.8% of its area has a good soil quality index, and about 83.6% of the area of the area with a very low quality vegetation cover, while 8.7% of its area has a good vegetation cover quality indicator, as it was clear from the study that 57.5% of the area of the area has a low climate quality indicator, while 39.7% of its area has a quality indicator good atmosphere. The study concluded that 23.5% of the area's area has a very high environmental sensitivity index, and that 59.4% of its area is environmentally insensitive to desertification.

Key Words: Environmental sensitivity, Desertification, Soil quality, Vegetation cover quality, Climate quality.